

Г.П. ЧИКИЛЬДИН

ИДЕНТИФИКАЦИЯ ДИНАМИЧЕСКИХ ОБЪЕКТОВ

Утверждено Редакционно-издательским советом университета
в качестве учебного пособия

НОВОСИБИРСК
2017

УДК 517.44

Ч-602

Рецензенты:

д-р техн. наук А.А. Волкова,
д-р техн. наук А.С. Толстиков

Чикильдин Г.П.

Ч-602 Идентификация динамических объектов : учеб. пособие /
Г.П. Чикильдин. – Новосибирск : Изд-во НГТУ, 2017. – 88 с.

ISBN 978-5-7782-3275-4

Рассмотрены вопросы представления объектов управления различными видами математических моделей. Приведены алгоритмы параметрической и нетипометрической идентификации. Материал в пособии излагается с точки зрения популярной алгоритмики определения математических моделей динамических объектов и анализа корректирующих параметров этих алгоритмов, обеспечивающих минимум ошибки идентификации.

Чикильдин Геннадий Николаевич

ИДЕНТИФИКАЦИЯ ДИНАМИЧЕСКИХ ОБЪЕКТОВ

Учебное пособие

Редактор Н.Л. Коломиец

Выпускающий редактор Н.П. Крючкова

Корректор И.В. Степанова

Дизайн обложки А.В. Лебедевская

Компьютерная верстка Г.Г. Бессоновская

Напечатано в типографии – Образовательный классификатор продукции
Наименование товара №3: 4600 ОК 005-9 (0821)

Подписано в печать. 05.06.2017. Формат А4 - 64 л/к. Бумага офсетная. Тираж: 75 экз.
Ул.-лиц. п. 5.11. Прил. п. 2.2. Инд. № 33. Заказ № 804. Цена договорная

Ответственное за типографию

Новосибирский государственный технический университет
630093, г. Новосибирск, пр. К. Маркса, 20

УДК 517.44

ISBN 978-5-7782-3275-4

© Чикильдин Г.П., 2017

© Новосибирский государственный
технический университет, 2017

1. ОБЩИЕ СВЕДЕНИЯ ОБ ИДЕНТИФИКАЦИИ

Под идентификацией динамического объекта управления (ДУ) будем понимать определение математической модели этого объекта по экспериментальным данным, в качестве которых используются входной и выходной сигналы идентифицируемого объекта.

Для иллюстрации постановки задачи идентификации рассмотрим некий линейный стационарный динамический объект, описываемый дифференциальными уравнением вида

$$y^{(n)}(t) + \sum_{i=1}^n a_i y^{(i-1)}(t) \sum_{j=1}^{m+1} b_j x^{(j-1)}(t), \quad m < n.$$

Необходимо определить порядок n и m левой и правой части динамического объекта (ДУ) и коэффициенты a_i , $i \in [1, n]$, b_j , $j \in [1, m+1]$.

Априорной информацией для решения задачи идентификации служат измеренные (как правило, с погрешами) входной $x_u(t) = u(t) + \delta u(t)$ и выходной $y_u(t) = y(t) + \delta y(t)$ сигналы объекта, подлежащего идентификации (рис. 1.1).

Наличие аддитивных помех $\delta u(t)$ и $\delta y(t)$, использование численных методов и алгоритмов идентификации (методическая погрешность), обработка информации на ЦВМ (вычислительная погрешность) приводят к тому, что результатом решения задачи идентификации всегда будут лишь оценки искомых параметров математической модели

$$a_0, a_m, i \in [1, n_0], \quad b_0, b_{m_0}, j \in [1, m_0 + 1].$$

Помехи $\delta u(t)$ и $\delta y(t)$ возникают в результате преобразования сигналов любой физической природы в электрические сигналы вида, удобного для обработки на ЦВМ. Принцип преобразования можно представить в виде, показанном на рис. 1.2: датчик (переменный преобразователь) \rightarrow нормирующее устройство \rightarrow АЦП \rightarrow буфер памяти.

Все эти устройства несовершенны и вносят искажения в процессе преобразования. Кроме того, может влиять и окружающая среда в виде каких-либо возмущающих воздействий.

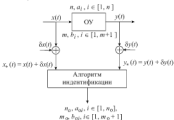


Рис. 1.1



Рис. 1.2

Идентификация называется активной, если входной сигнал $u(t)$ – тестовый (подается со специального генератора). Если же он измеряется в процессе нормального функционирования объекта, то имеет место пассивная идентификация.

Определение порядков левой и правой t части дифференциального уравнения называют структурной идентификацией, а определение коэффициентов $a_i, i \in [1, n]$, и $b_j, j \in [1, m+1]$ – параметрической идентификацией. Это касается и передаточной функции $W(s) = B(s)/A(s)$, где n и $a_i, i \in [1, n]$ – порядок и коэффициенты полинома знаменателя $A(s)$, а m и $b_j, j \in [1, m+1]$ – порядок и коэффициенты полинома числителя $B(s)$.

Задачи определения импульсной, амплитудной частотной и фазовой частотной характеристик называют монопараметрической идентификацией. Суть решения задачи монопараметрической идентификации сводится к вычислению значений той или иной характеристики в каждой точке интервала определения.

Следует отметить частные постановки задачи идентификации, когда определяют не математическую модель, а некоторые свойства объекта управления, например, линейность, стационарность, наличие чистого запаздывания.

Существуют два подхода, на которых базируются алгоритмы идентификации. В первом случае предполагается предварительный сбор информации об объекте с дальнейшей ее обработкой, причем места сбора и обработки могут быть разнесены. Алгоритмы, базирующиеся на таком подходе, называют *рекурсивными*. Если исходные параметры и характеристики определяются по мере поступления априорной информации, в так называемом пошаговом режиме, то алгоритмы называют *рекуррентными*. Рекуррентные алгоритмы используются, например, при идентификации нестационарных объектов или при необходимости уточнения найденных оценок параметров в стационарных объектах.

Идентификацию можно проводить в пошаговом режиме и без поступления новой априорной информации. Такие алгоритмы называют *бимаркапционными*.

2. МАТЕМАТИЧЕСКИЕ МОДЕЛИ ОБЪЕКТОВ УПРАВЛЕНИЯ

Прежде чем говорить об идентификации динамических объектов, рассмотрим типы математических моделей объектов, чаще всего используемых при синтезе систем управления. Будем считать, что объект одномерный, линейный, с сосредоточенными параметрами, без чистого запаздывания, устойчивый.

Дифференциальные уравнения (ДУ)

$$y^{(m)}(t) + \sum_{i=1}^n a_i y^{(i-1)}(t) \sum_{j=1}^{m+1} b_j t^{(j-1)}(t), \quad m < n. \quad (2.1)$$

Уравнение (2.1) при нулевых начальных условиях в объекте соответствует дробно-рациональная передаточная функция (ПФ)

$$W(s) = \frac{B(s)}{A(s)} = \frac{\sum_{j=1}^{m+1} b_j s^{(j-1)}}{s^m + \sum_{i=1}^n a_i s^{(i-1)}}, \quad m < n, \quad (2.2)$$

где s – переменная Лапласа.

ДУ (1.1) и ПФ (2.2) характеризуются одной и той же совокупностью параметров n , a_i , $i \in [1, n]$, m , b_j , $j \in [1, m+1]$, и в этом смысле представляют собой адекватные математические модели.

Амплитудно-фазовая характеристика (АФХ)

Если в выражении (2.2) переменную Лапласа s заменить на $js\omega$, (ω – круговая частота), то будем иметь АФХ

$$W(j\omega) = \frac{S(j\omega)}{A(j\omega)} = \frac{\sum_{i=1}^{m+1} b_i (j\omega)^{i-1}}{(j\omega)^n + \sum_{i=1}^n a_i (j\omega)^{i-1}} = P(\omega) + jQ(\omega). \quad (2.3)$$

На практике чаще используются амплитудные (АЧХ)

$$H(\omega) = |W(j\omega)| = \sqrt{P^2(\omega) + Q^2(\omega)} \quad (2.4)$$

и фазовая (ФЧХ)

$$\varphi(\omega) = \arg W(j\omega) = \arctg \frac{Q(\omega)}{P(\omega)} + k\pi, \quad k = 1, 2, \dots \quad (2.5)$$

частотные характеристики; $P(\omega) = \operatorname{Re} W(j\omega)$ – вещественная часть АФХ; $Q(\omega) = \operatorname{Im} W(j\omega)$ – минная часть АФХ; $H(\omega)$, $P(\omega)$ – чётные функции частоты; $\varphi(\omega)$, $Q(\omega)$ – нечетные функции частоты.

Интегральное уравнение свертки (Болтыра первого рода)

$$y(t) = \int_0^t u(\tau)x(t-\tau)d\tau \quad (2.6)$$

полностью определяется математической моделью в виде линейной характеристики (ИХ) $u(t)$, удовлетворяющей условию физической реализуемости устойчивого объекта $u(t) = 0$ при $t < 0$, $\lim_{t \rightarrow \infty} u(t) = 0$.

Следует отметить, что иногда вместо выражения (2.6) используется интегральное уравнение Ванера–Хопфа

$$R_{xy}(t) = \int_0^\infty u(\tau) R_{xy}(t-\tau)d\tau, \quad (2.7)$$

где ИХ связывают посредством интегрального оператора не сигналы, а корреляционные функции этих сигналов. Здесь

$$R_{xy}(t) = M_\infty \left\langle [x(\tau) - x_0] [y(t+\tau) - y_0] \right\rangle = \lim_{T \rightarrow \infty} \frac{1}{T} \int_0^T x(\tau) y(t+\tau) d\tau$$

– коварианская корреляционная функция входного и выходного сигналов;

$$R_{xy}(t) = M_{\infty} \{ [x(t) - x_0][x(t + t) - x_0]\}$$

– автокорреляционная функция входного сигнала;

$$x_0 = M_{\infty} \{ x(t) \}, \quad y_0 = M_{\infty} \{ y(t) \}$$

– математические ожидания входного и выходного сигналов.

Представленные три типа математических моделей взаимно связаны между собой посредством преобразований Лапласа и Фурье.

Связь между ИХ $w(t)$ и ПФ $W(s)$ осуществляется через пару преобразований Лапласа:

$$W(s) = \text{Lp} \{ w(t) \} = \int_0^{\infty} w(t) e^{-st} dt,$$

$$w(t) = \text{Lp}^{-1} \{ W(s) \} = \frac{1}{2\pi} \int_{\sigma-j\infty}^{\sigma+j\infty} W(s) e^{st} ds,$$

$t \geq 0$, $s \geq \sigma$ – радиус сходимости.

Связь между ИХ $w(t)$ и АФХ $W(j\omega)$ осуществляется через пару преобразований Фурье:

$$W(j\omega) = \text{Fo} \{ w(t) \} = \int_0^{\infty} w(t) e^{-j\omega t} dt,$$

$$w(t) = \text{Fo}^{-1} \{ W(j\omega) \} = \frac{1}{2\pi} \int_{-\infty}^{+\infty} W(j\omega) e^{j\omega t} d\omega.$$

Разностное уравнение имеет вид

$$y_k + \sum_{j=1}^k b_j x_{[k-(j+1)-l]} = \sum_{l=0}^{k+l} b_l x_{[k-(k+l)-l]}. \quad (2.8)$$

Ему соответствует дискретная ПФ (ДПФ)

$$\hat{W}(z) = \frac{\hat{B}(z)}{A(z)} = \frac{\sum_{j=0}^{d+1} b_j z^{(j-1)}}{z^d + \sum_{i=1}^d a_i z^{(i-1)}}, \quad z = e^{j\Delta t}, \quad (2.9)$$

Δt – шаг дискретизации по времени ($t = (k-1)\Delta t$).

Связь между ДПФ $\hat{W}(z)$ и ИХ w_k , $k = 1, 2, 3, \dots$, осуществляется парой Z -преобразований:

$$\begin{aligned} \hat{W}(z) &= Z[w_k] = \sum_{k=1}^{\infty} w_k z^{-(k-1)}, \\ w_k &= Z^{-1}[\hat{W}(z)], \quad k = [1, \infty). \end{aligned}$$

3. ПРЯМЫЕ МЕТОДЫ ИДЕНТИФИКАЦИИ ИМПУЛЬСНОЙ ХАРАКТЕРИСТИКИ (ИХ)

В настоящем разделе речь пойдет об оценивании ИХ $w(t)$ линейного динамического объекта, которая может быть представлена в дискретном виде как $w_k = (k - l)\Delta t$, $k = 1, 2, 3, \dots$. Суть оценивания $w(t)$ заключается в вычислении w_k в каждой k -й точке интервала определения. Базовым выражением для идентификации ИХ $w(t)$ является интегральное уравнение свертки (2.6).

3.1. ОБЩИЕ ПОЛОЖЕНИЯ

На рис. 3.1 показана ИХ устойчивого объекта, когда $\lim_{t \rightarrow \infty} w(t) = 0$.

На практике оперируют с так называемой эффективной длительностью ИХ T_w , которая определяется на уровне δ_w от максимального значения ИХ w_m . Параметр δ_w будем называть уровнем усечения ИХ.

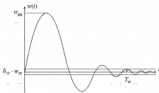


Рис. 3.1

Рассмотрим уравнение (2.6) при $t > T_w$ и представим его в следующем виде:

$$\int_0^T u(\tau)x(t-\tau)d\tau = y(t) - \int_{T_w}^t u(\tau)x(t-\tau)d\tau. \quad (3.1)$$

Обозначим

$$\Delta_{uw}(t) = \int_{T_w}^t u(\tau)x(t-\tau)d\tau. \quad (3.2)$$

Отметим, что в силу устойчивости объекта $\Delta_{uw}(t)$ принимает очень малые (близкие к 0) значения при $t > T_w$.

Запишем (3.1) с учетом помех $\delta x(t)$ и $\delta y(t)$, исключающих исходной $x(t)$ и выходной $y(t)$ сигналы идентифицируемого объекта:

$$\int_0^T u(\tau)x_u(t-\tau)d\tau = y_u(t) - \delta y(t) - \Delta_{uw}(t) + \int_0^{T_w} u(\tau)\delta x(t-\tau)d\tau. \quad (3.3)$$

Переходя к дискретному времени $t = (k-1)\Delta t$, $\tau = (j-1)\Delta t$, $T_w = (K_w-1)\Delta t$, получим при $k > K_w$

$$\sum_{j=1}^{K_w} d_j w_j x_{u(k+1-j)} \Delta t = y_{uk} - \delta y_k - \Delta_{uw} + \sum_{j=1}^{K_w} d_j w_j \delta x_{(k+1-j)} \Delta t - \Delta_{ex},$$

где d_j , $j \in [1, K_w]$ и Δ_{ex} – коэффициенты и погрешность квадратурной формулы. Введя нормированные отсчеты ИХ

$$\hat{w}_j = d_j w_j \Delta t \quad (3.4)$$

и обобщенную помеху

$$\delta v_k = -\delta y_k - \Delta_{uw} + \sum_{j=1}^{K_w} \hat{w}_j \delta x_{(k+1-j)} - \Delta_{ex}. \quad (3.5)$$

окончательно будем иметь

$$\sum_{j=1}^{K_S} \hat{w}_j \cdot x_{n(j+1-j)} = y_{nk} + \delta v_k - \Delta, \quad k > K_w. \quad (3.6)$$

Соотношение (3.6) служит основой так называемых прямых методов идентификации ИХ, в том числе и метода наименьших квадратов (МНК). Необходимо в каждой точке $k = 1, 2, 3, \dots, k > K_w$, определить значение ИХ w_k .

Выражение (3.6) на конечном интервале $k \in [K_S + 1, K_S + K_0]$, $K_S \geq K_w$, $K_0 = p_T K_w$, $p_T \geq 1$, представляет собой систему K_0 линейных алгебраических уравнений относительно K_w неизвестных. Параметр p_T указывает, сколько раз длительность ИХ K_w укладывается на отрезке $[K_S + 1, K_S + K_0]$ наблюдаемых сигналов входа и выхода объекта идентификации. В векторно-матричной форме эта система имеет вид

$$\mathbf{X}_w \cdot \hat{\mathbf{w}} = \mathbf{y}_w + \delta \mathbf{v}, \quad (3.7)$$

$$\text{при } \hat{\mathbf{w}} = [\hat{w}_j, j \in [1, K_w]]^T,$$

$$\mathbf{X}_w = [x_{n(j+1-j)}, \quad k \in [K_S + 1, K_S + K_0], \quad j \in [1, K_w]],$$

$$\mathbf{y}_w = [y_{nk}, \quad k \in [K_S + 1, K_S + K_0]],$$

$$\delta \mathbf{v} = [\delta v_k, \quad k \in [K_S + 1, K_S + K_0]].$$

3.2. АЛГОРИТМЫ ИДЕНТИФИКАЦИИ НА ОСНОВЕ МНК

В выражении (3.7) вектор обобщенной помехи $\hat{\delta}v$ оказывается неизмеримым, и решить алгебраическую систему можно с помощью метода наименьших квадратов, который предполагает минимизацию функционала

$$J = \hat{y}V^T \cdot \hat{\delta}v = \sum_{k=K_0+1}^{K_0+K_0} \hat{\delta}v_k^2 \quad (3.8)$$

и приводит к усеченной системе уравнений

$$\mathbf{X}_n \cdot \mathbf{w}_0 = \mathbf{y}_n$$

относительно оценки \mathbf{w}_0 ИХ $\hat{\Phi}$. После первой трансформации Гаусса (при $\rho_T > 1$ матрица \mathbf{X}_n имеет прямоугольный вид) окончательно получаем

$$\mathbf{V}_n \cdot \mathbf{w}_0 = \mathbf{X}_n^T \cdot \mathbf{y}_n, \quad \mathbf{V}_n = \mathbf{X}_n^T \cdot \mathbf{X}_n. \quad (3.9)$$

Формально решение системы (3.9) может быть записано в виде

$$\mathbf{w}_0 = \mathbf{V}_n^{-1} \cdot \mathbf{X}_n^T \cdot \mathbf{y}_n, \quad (3.10)$$

что является МНК-оценкой искомого вектора ИХ $\hat{\Phi}$.

Представим систему (3.7) следующим образом:

$$\frac{1}{K_0} \mathbf{V}_n \cdot \hat{\Phi} = \frac{1}{K_0} \mathbf{X}_n^T \cdot \mathbf{y}_n + \frac{1}{K_0} \mathbf{X}_n^T \cdot \hat{\delta}v \quad (3.11)$$

и, введя в рассмотрение оценки корреляционных функций

$$\hat{R}_{x_0 x_{k+l}} = M_{K_0} \left[[x_{0k} - \bar{x}_{00}] [x_{0(k+l)-1} - \bar{x}_{00}] \right],$$

$$\hat{R}_{x_0 v_{k+l}} = M_{K_0} \left[[x_{0k} - \bar{x}_{00}] [v_{0(k+l)-1} - \bar{v}_{00}] \right],$$

$$\hat{R}_{v_0 v_{k+l}} = M_{K_0} \left[[v_{0k} - \bar{v}_{00}] [\delta v_{0(k+l)-1} - \bar{\delta v}_{00}] \right],$$

перейдем к эквивалентной системе уравнений

$$\sum_{j=1}^{K_w} \hat{R}_{x_2 x_2}(j=j+1) \hat{w}_j = \hat{R}_{x_2 y_2,i} + \hat{R}_{x_2 b(i)}, \quad i \in [1, K_w], \quad (3.12)$$

которая в дальнейшем понадобится для анализа свойств системы.

Следует отметить, что корреляционные функции могут определяться для стационарных процессов, поэтому возникает условие $K_w \geq K_w$, гарантирующее близость сигнала $y(t)$ к стационарному процессу. Кроме того, параметр ρ_T , задающий длительность интервала усреднения (выличину K_0), нужно брать как можно больше, поскольку с увеличением ρ_T оценки корреляционных функций будут приближаться к истинным ($K_0 \rightarrow \infty$).

Корректирующими параметрами, определяющими эффективность МНК идентификации ИХ, АЧХ, ФЧХ, являются шаг дискретизации по времени Δt , длительность ИХ K_w (T_w), длительность интервала наблюдения (усреднения) K_0 , определяемая параметром $\rho_T = K_0/K_w$.

Ошибка идентификации МНК

$$e_w = \hat{y} - \hat{\Phi}_w = V_w^{-1} \cdot X_w^T \cdot \delta v \quad (3.13)$$

зависит от обусловленности матрицы V_w , определяемой числом Тодда

$$\eta = \sigma_{V_w \text{ max}} / \sigma_{V_w \text{ min}},$$

где $\sigma_{V_w \text{ max}}$ и $\sigma_{V_w \text{ min}}$ — максимальное и минимальное собственные числа матрицы V_w (чем больше η , тем хуже обусловленность), и содержит методическую и инструментальную составляющие.

Обусловленность матрицы V_w может ухудшаться по двум причинам. Первая связана с увеличением размера матрицы V_w , которая зависит от количества исходных параметров $K_w = T_w/\Delta t - 1$. Следовательно, чтобы улучшить обусловленность матрицы V_w , необходимо либо уменьшить эффективную длительность ИХ T_w , либо увеличивать шаг дискретизации Δt . И то и другое приводят к увеличению уровня обобщенной помехи δv .

Вторая причина порождается недостаточной информативностью входного сигнала, подаваемого на объект идентификации. Входной сигнал считается информативным, если выполняется условие $\Omega_{\text{ макс}} \geq \Omega_{\text{eff}}$, где $\Omega_{\text{ макс}}$ – максимальная частота эффективной длительности спектра входного сигнала, а Ω_{eff} – максимальная частота эффективной длительности АЧХ объекта.

Методическая составляющая ошибки идентификации e_{Δ} возникает из-за наличия обобщенной помехи (3.5), куда входит слагаемые $\Delta_w(t)$ от усечения ИХ и погрешности $\Delta_{\text{кв}}$ квадратурных формул. Причем ошибка e_{Δ_w} будет понижаться при уменьшении $\Delta_w(t)$, что связано с увеличением T_w , а слагаемое ошибки $e_{\Delta_{\text{кв}}}$ связано с уменьшением $\Delta_{\text{кв}}$, что в свою очередь будет иметь место при уменьшении M или T_w . Таким образом, из-за противоречивого влияния параметров Δt и T_w методическая составляющая ошибки идентификации не может быть уменьшена ниже некоторого граничного значения, величина которого возрастает с увеличением T_w (K_w). Отсюда следуют, что МНК применим при идентификации слабо колебательных ИХ, характеризуемых малыми значениями K_w при больших величинах Δt .

Инструментальная составляющая ошибки (3.13) связана с наличием помех $b_x(t)$ и $b_y(t)$, искающейся входной $x(t)$ и выходной $y(t)$ сигналами идентифицируемого объекта. Уменьшить эту ошибку можно соответствующим выбором генератора входного сигнала, измерительной и регистрирующей аппаратуры, а также увеличением интервала усреднения (параметра r_T).

Полный классический МНК

Полный классический МНК можно представить в следующем виде.

1. Формирование системы линейных алгебраических уравнений (3.9) на основе соотношений (3.1)–(3.8).
2. Определение нормированной МНК-оценки ИХ согласно (3.10).
3. Вычисление реализаций оценки ИХ

$$w_{0,k} = \hat{w}_{0,k} / (d_k \Delta t), \quad k \in [1, K_w].$$

4. Определение вещественной $P_{H_0,i}$ и минимум $Q_{H_0,i}$, $i \in [1, N_0 = N_F/2 + 1]$, $N_F = 2^m F$, $m_F = 2, 3, 4, \dots$, частей оценки АФХ

$$W_{\phi}(j\omega) = P_{H_0}(j\omega) + jQ_{H_0}(j\omega)$$

покрайством прямого дискретного преобразования Фурье

$$W_{\phi,i} = \text{FO}_N \left\{ w_{G,i}, k \in [1, K_m] \right\}, i \in [1, N_0]$$

с использованием алгоритма быстрого преобразования Фурье (БПФ).

5. Определение оценки АЧХ $H_{\phi,i} = |W_{\phi,i}|$.

6. Определение оценки ФЧХ $\Phi_{\phi,i} = \arg W_{\phi,i}$.

Необходимо отметить следующие особенности классического МНК.

1. При решении практических задач идентификации ИХ, как правило, используется квадратурная формула прямоугольников и коэффициенты

$$d_j = 1, j \in [1, K_m - 1], d_{K_m} = 0.$$

2. Из-за плохой обусловленности матрицы V_n , наличия вычислительных погрешностей и неизмеримых $A_n(t)$ и A_{n0} , даже в случае отсутствия помех и идентификации колебательной ИХ (достаточно быстрой шаг Δt и малое значение K_m), ошибки идентификации очень большие (среднеквадратичная на K_m ошибка может достигать 100 % и более).

Регуляризированный МНК

Улучшить обусловленность матрицы V_n и тем самым уменьшить ошибку идентификации позволяет регуляризация по А.Н. Тихонову, преобразующая систему линейных алгебраических уравнений (3.9) к виду

$$(V_n + \rho \cdot E) \cdot w_n = X_n^T \cdot y_n, \quad (3.14)$$

где E – единичная матрица, а ρ – параметр регуляризации. При соответствующем выборе параметра ρ удается подавить высокочастотную составляющую ошибки (3.13).

В отличие от классического МНК модификацию (3.14) называют *регуляризованым МНК*, а ρ – новый корректирующий параметр алгоритма. Существенный недостаток регуляризированного МНК – способность выбора параметра ρ при решении конкретной задачи идентификации, поскольку никаких рекомендаций по этому поводу в общем случае нет.

Модифицированный МНК

Результаты многочисленных исследований, проводимых на различных модельных объектах, проиллюстрировали, что ошибка идентификации e_w имеет спектр с зоной выраженным высоким уровнем в высокочастотной области за частотой Ω_W , определяющей эффективную длительность АЧХ объекта. Указанная особенность позволяет уменьшить, причем существенно, ошибку e_w за счет принудительного обнуления вещественной R_{W_0} и минной Q_{W_0} частей АФХ W_0 за некоторой частотой

$$\Omega_p = (N_p - 1)\Delta\omega \approx \Omega_W, \quad (3.15)$$

с последующим уточнением оценки ИХ w_0 путем обратного преобразования Фурье усеченной АФХ.

Частоту Ω_p будем называть частотой регуляризации, процедуру усечения АФХ – частотной регуляризацией, а метод – модифицированным МНК.

В вычислительном плане отличие модифицированного метода от классического МНК заключается в следующем.

1. На четвертой операции (см. этапы реализации классического МНК), после нахождения оценки АФХ W_{0f} , производится обнуление:

$$R_{W_{0f}} = 0, Q_{W_{0f}} = 0, i \in [N_p, N_0].$$

2. Вводится дополнительная седьмая операция

$$w_{0d} = P_{0,\lambda}^{-1} \left(W_{0f}, i \in [1, N_p] \right), \lambda \in [1, K_w].$$

Ω_p – новый корректирующий параметр, выбор которого производится алгоритмически, исходя из рекомендации (3.15). Обычно получается,

что Ω_p чуть меньше Ω_M , и что обоснованно, так как, подобная АЧХ $H_p(\omega)$ низкого уровня (близи Ω_M), тем самым обнуляет более существенный уровень спектра ошибки идентификации.

3.3. АЛГОРИТМЫ ИДЕНТИФИКАЦИИ НА ОСНОВЕ РМНК

Априорной информацией для решения задачи идентификации ИХ служат реализации входного x_t и выходного y_t сигналов объекта, измеренные на интервале $k \in [1, K_p]$. При формировании системы алгебраических уравнений (3.7) используются лишь отрезки измеренных сигналов длиной $[K_p + 1, K_p + K_0]$, причем $K_w \ll K_0 \ll K_p$. Другими словами, значительная часть априорной информации не используется, хотя, например, при $k = K_p + K_0 + r$, $r = 2, 3, \dots$, можно формировать новые системы уравнений, решения которых могут привести к уточнению МНК-оценок. Однако всенарядное формирование и решение алгебраических систем, тем более с прямоугольной ($K_0 > K_w$) матрицей X_k , что повышает помехоустойчивость за счет увеличения длительности интервала усреднения (параметра p_T), существенно повышают вычислительные затраты. Устранить эту проблему можно, используя рекуррентную процедуру вычисления обратной матрицы V_k^{-1} и МНК-оценки w_k .

Рекуррентный МНК (РМНК) выполняется в следующем виде.
Задаются начальные условия

$$\hat{w}_{00} = 0, \quad D_{000} = V_{000}^{-1} = \mu \cdot E, \quad (3.16)$$

где E – единичная матрица, $\mu \in [10^3, 10^6]$.

Выполняется r -шаговая $r = 1, 2, 3, \dots, R$ процедура

$$D_{00r} = D_{00(r-1)} - \frac{D_{00(r-1)} X_{01(K_p+r)} X_{01(K_p+r)}^T D_{00(r-1)}}{\gamma + X_{01(K_p+r)}^T D_{00(r-1)} X_{01(K_p+r)}}, \quad \gamma \leq 1, \quad (3.17)$$

$$\hat{w}_{0r} = \hat{w}_{00(r-1)} + x_r D_{00r} X_{01(K_p+r)} = \quad (3.18)$$

$$\tilde{w}_r = \gamma w(K_g+r) - \lambda w(K_g+r) \dot{w}_{\alpha(r-1)}.$$

Приведенный алгоритм называется РМНК с извешиванием в отличие от классического РМНК, где $\gamma=1$. Параметр γ служит для «извешивания» старой информации; чем меньше γ , тем больше информации «избываеться».

Корректирующими параметрами РМНК являются μ , γ , R . Рекомендации по выбору требуемого количества итераций R неизвестны.

3.4. АЛГОРИТМЫ ИДЕНТИФИКАЦИИ НА ОСНОВЕ АК

В алгоритмах Качмакса (АК), как и в РМНК, оцинка ИХ определяется итерационным путем, а значит, предполагается задание начальных условий, например, в виде

$$w_{(0)} = 0 \quad (3.19)$$

и дальнейшее уточнение оценок посредством пошаговой процедуры, на каждом r -м ($r \in [1, R]$) шаге которой возникает r -е уравнение

$$\sum_{j=1}^{K_g} x_{ij}(K_g+r+1+j) \dot{w}_j = y_i(K_g+r) + \delta v_i(K_g+r), \quad r = 1, 2, \dots, K_B, \quad (3.20)$$

и минимизируется функционал

$$J_r = \delta v_{(K_g+r)}^2,$$

в результате чего вычисляется r -я оценка

$$w_{ir} = w_{i(r-1)} + \frac{y_i(K_g+r) - x_{ir}(K_g+r) w_{i(r-1)}}{\sum_{j=1}^{K_g} x_{ij}(K_g+r) x_{ir}(K_g+r)} x_{ir}(K_g+r). \quad (3.21)$$

Корректирующий параметр γ алгоритма Качмакса выбирается из условия сходимости алгоритма в виде $\gamma \in (0, 2]$.

Соотношение (3.21) называют классическим алгоритмом Качмакса.

Известны несколько модификаций классического алгоритма:

1) алгоритм Надина–Нодза;

- 2) помехоустойчивый алгоритм В.М. Чадесса;
- 3) алгоритмы с центрированием данных Ю.Б. Лоца;
- 4) ускоренный алгоритм Э.Д. Аведьяна—Я.Э. Цыпкина;
- 5) ускоренный алгоритм Я. Маркса.

По экспериментальным данным сравнительных характеристик указанных алгоритмов в плане их точности и помехоустойчивости некоторые предпочтения следует отдать алгоритму В.М. Чадесса:

$$W_{\alpha'} = W_{\alpha}(r-1) + \frac{\gamma u(K_r+r) - \mathbf{x}_n(K_r+r)^\top W_{\alpha}(r-1)}{\gamma + \mathbf{x}_n(K_r+r)^\top \mathbf{x}_n(K_r+r)} \mathbf{x}_n(K_r+r), \quad (3.23)$$

где параметр γ выбирается в виде $0 < \gamma < K_n$ и служит для повышения помехоустойчивости алгоритма Качинска—Чадесса.

Корректирующими параметрами алгоритма являются γ , η и количество итераций $R \leq K_0$. Конкретных рекомендаций по выбору параметра R нет.

4. ПРОЕКЦИОННЫЕ МЕТОДЫ ИДЕНТИФИКАЦИИ ИМПУЛЬСНОЙ ХАРАКТЕРИСТИКИ

4.1. ОБЩИЕ ПОЛОЖЕНИЯ

Данные методы базируются на том, что идентифицируемая ИХ представляется в виде обобщенного ряда Фурье по полной системе некоторых базисных функций

$$w(t) = \sum_{r=0}^{\infty} a_{rr} \varphi_r(t) = \sum_{r=0}^K a_{rr} \varphi_r(t) + \delta_K(t), \quad (4.1)$$

где a_{rr} – коэффициенты Фурье; $\varphi_r(t)$ – базисные функции; $\delta_K(t)$ – остаточный член ряда Фурье.

Таким образом, задача идентификации сводится к определению оценок коэффициентов Фурье a_{rr} , $r \in [0, K]$, а собственно оценка импульсной характеристики будет определяться как

$$w_p(t) = \sum_{r=0}^K a_{rr} \varphi_r(t). \quad (4.2)$$

Такой подход существенно уменьшает мерность матрицы формируемой системы уравнений, поскольку $K \ll K_w$, а это в свою очередь улучшает обусловленность матрицы, по сравнению, например, с прямым МНК.

В качестве базисных функций $\varphi_r(t)$ обычно используют ортонормированные на интервале $[0, \infty)$ функции Лагерра

$$\varphi_r(t) = \sqrt{2r!} \cdot r^{-\frac{1}{2}} \sum_{j=0}^r C_{rj} t^j, \quad (4.3)$$

$$C_{r(i+1)} = -\frac{2(r-i)\beta}{(i+1)^2} C_{ri}, \quad C_{r0} = 1, \quad r \in [0, R], \quad (4.4)$$

где $\beta > 0$ – некоторый параметр, используемый для сохранения свойств функций Лагерра при переходе от бесконечного интервала к конечному.

Для функций Лагерра справедливы соотношения:

$$1) \quad \sup_{t \in [0, \infty)} |\phi_r(t)| = \psi_r(0) = \sqrt{2\beta}; \quad (4.5)$$

2) эффективная длительность $T_{r(\delta_\Phi)}$ r -ой функции на уровне δ_Φ из условия $|\phi_r(t)| \leq \delta_\Phi \psi_r(0)$ при $t \geq T_{r(\delta_\Phi)}$ находится в виде

$$3) \quad T_{r(0.1)} \approx 2.0(r+1)/\beta, \quad T_{r(0.05)} \approx 2.25(r+1)/\beta; \quad (4.6)$$

$$4) \quad \Phi_r(x) = L_p[\psi_r(t)] = \sqrt{2\beta} \frac{(x-\beta)^r}{(x+\beta)^{r+1}}; \quad (4.7)$$

$$5) \quad \Phi_r(s)\Phi_r(x) = [\Phi_{(r+i)}(s) - \Phi_{(r+i+1)}(x)]/\sqrt{2\beta}; \quad (4.8)$$

$$|\Phi_r(j\omega)| = \sqrt{2/\beta} / \sqrt{1 + (\omega/\beta)^2}; \quad (4.9)$$

6) длительность $\Omega_{\Phi(\delta_\Phi)}$ спектра $|\Phi_r(j\omega)|$ на уровне δ_Φ из условия $|\Phi_r(j\omega)| \leq \delta_\Phi \sqrt{2/\beta}$ при $\omega \in \Omega_{\Phi(\delta_\Phi)}$ находится в виде

$$\Omega_{\Phi(\delta_\Phi)} = \sqrt{(1/\delta_\Phi)^2 - 1} \cdot \beta \approx \beta/\delta_\Phi. \quad (4.10)$$

Первые пять функций Лагерра показаны на рис. 4.1.

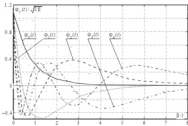


Рис. 4.1

Поскольку задача идентификации ИХ сводится к вычислению оценок коэффициентов Фурье $a_{n,\text{exp}}$, то в зависимости от того, каким способом они вычисляются, различают метод моментов (ММ) и проекционный МНК (ПМНК).

4.2. АЛГОРИТМЫ ИДЕНТИФИКАЦИИ НА ОСНОВЕ ММ

В ММ помимо ИХ $w(t)$ в ряд Фурье раскладываются входной $x(t)$ и выходной $y(t)$ сигналы

$$x(t) = \sum_{i=0}^m a_i \varphi_i(t), \quad y(t) = \sum_{j=0}^n b_j \varphi_j(t). \quad (4.11)$$

Если подставить разложение ИХ $w(t)$, входного $x(t)$ и выходного $y(t)$ сигналов в исходное уравнение свертки

$$y(t) = \int_0^t w(\tau)x(t-\tau)d\tau,$$

то получим

$$\sum_{j=0}^{\infty} \sigma_{jj} \varphi_j(t) = \sum_{r=0}^{\infty} \sum_{j=0}^{\infty} \sigma_{rr} \sigma_{jj} \int_0^t \varphi_r(\tau) \varphi_j(t-\tau) d\tau. \quad (4.12)$$

Преобразуя (4.12) по Лапласу, с учетом (4.7) после несложных преобразований получаем бесконечномерную систему линейных уравнений

$$\sum_{j=0}^i \sigma_{j(i-j)} \sigma_{ij} = \sqrt{2\beta} \sum_{j=0}^i \sigma_{jj}, \quad i \in [0, \infty). \quad (4.13)$$

Имея в виду, что входной и выходной сигналы измеряются с помехами, причем на конечных интервалах, система уравнений (4.13) преобразуется к виду

$$\sum_{j=0}^i \sigma_{x(i-j)} \sigma_{ij} = \sqrt{2\beta} \sum_{j=0}^i \sigma_{jj} + \delta x_i, \quad i \in [0, \infty), \quad (4.14)$$

где оценки коэффициентов Фурье

$$\sigma_{x(i)} = \int_0^T x_i(t) \varphi_i(t) dt, \quad \sigma_{jj} = \int_0^T y_i(t) \varphi_j(t) dt, \quad (4.15)$$

и обобщенная помеха представляется в виде

$$\delta x_i = \sum_{j=0}^i \left[\sigma_{jj} \delta \sigma_{x(i-j)} - \sqrt{2\beta} \cdot \delta x_{jj} \right], \quad (4.16)$$

причем $\delta \sigma_{x(i)} = \sigma_{x(i)} - \sigma_{ii} = \int_0^T \delta x(t) \varphi_i(t) dt = \int_0^T x(t) \varphi_i(t) dt$,

$$\delta x_{jj} = \sigma_{x(j)} - \sigma_{jj} = \int_0^T \delta y(t) \varphi_j(t) dt = \int_0^{\infty} y(t) \varphi_j(t) dt.$$

Оценки a_{xx} и a_{yy} коэффициентов Фурье согласно (4.3) и (4.15) могут быть вычислены через моменты измеренных сигналов $x_s(t)$ и $y_s(t)$:

$$\mu_{xx} = \int_0^T t^j e^{-\tilde{B}t} x_s(t) dt, \quad (4.17)$$

$$\mu_{yy} = \int_0^T t^j e^{-\tilde{B}t} y_s(t) dt \quad (4.18)$$

в виде

$$a_{xx} = \sqrt{2\beta} \cdot \sum_{j=0}^r C_{xj} \mu_{xx}, \quad (4.19)$$

$$a_{yy} = \sqrt{2\beta} \cdot \sum_{j=0}^r C_{yj} \mu_{yy}, \quad (4.20)$$

где C_{xj} – коэффициенты функции Лагерра (4.4).

Таким образом, в системе алгебраических уравнений (4.14), сформированной относительно коэффициентов Фурье IX, определено всё, за исключением обобщенной помехи, информации о которой отсутствует и потому приходится решать лишь усеченную систему алгебраических уравнений

$$\sum_{j=0}^l a_{xx(j-f)} \theta_{xxj} = \sqrt{2\beta} \sum_{j=0}^l a_{yyj}, \quad (4.21)$$

которая может быть представлена в векторно-матричном виде

$$\mathbf{A}_{xx} \cdot \mathbf{a}_{xx} = \sqrt{2\beta} \cdot \mathbf{a}_{yy}, \quad (4.22)$$

$$\mathbf{a}_{yy} = \left[a_{yyj}, j \in [0, R] \right],$$

$$\mathbf{A}_{xx} = \left[a_{xx(i-j)}, i \in [0, R], j \in [0, R] \right], \quad a_{xx(i-j)} = 0 \text{ при } i < j,$$

$$\mathbf{a}_{yy} = \left[\sum_{j=0}^l a_{yyj}, i \in [0, R] \right].$$

Решение этой системы отыскивается по рекуррентным соотношениям

$$a_{m0} = \sqrt{2p} \cdot \frac{a_{m0}}{a_{m0}}, \quad (4.23)$$

$$a_{mr} = \frac{1}{a_{m0}} \left[\sqrt{2p} \cdot \sum_{j=0}^r a_{mj} - \sum_{j=0}^{r-1} a_{m(r-j)} a_{mj} \right], \quad r \in [1, R]. \quad (4.24)$$

4.3. АЛГОРИТМЫ ИДЕНТИФИКАЦИИ НА ОСНОВЕ ПРОЕКЦИОННОГО МНК

Проекционный метод наименьших квадратов (ПМНК) базируется на минимизации функционала

$$J_a = M_{T_H} \left\{ \|y(t) - \hat{y}(t)\|^2 \right\} = \frac{1}{T_H} \int_0^{T_H} \|y(t) - \hat{y}(t)\|^2 dt \quad (4.25)$$

по искомым коэффициентам a_{mr} , $r \in [1, R]$, т.

$$\hat{y}(t) = \int_0^t \hat{w}(t) x(t-\tau) d\tau, \quad \hat{w}(t) = \sum_{r=0}^R a_{mr} q_r(t).$$

Подставив в интеграл сверху выражение ИХ $\hat{w}(t)$, можно записать

$$\hat{y}(t) = \sum_{r=0}^R a_{mr} \Psi_r(t),$$

где

$$\Psi_r(t) = \int_0^t \varphi_r(\tau) x(t-\tau) d\tau.$$

Тогда функционал (4.25) примет вид

$$J_a = \frac{1}{T_H} \int_0^{T_H} \left[y(t) - \sum_{r=0}^R a_{mr} \Psi_r(t) \right]^2 dt. \quad (4.26)$$

и условие его минимума

$$\frac{\partial J_2}{\partial \alpha_{ij}} = 0, \quad i \in [0, R],$$

что представляет собой систему линейных алгебраических уравнений

$$\sum_{j=0}^R \Psi_{ij} \alpha_{ij} = z_i, \quad i \in [0, R], \quad (4.27)$$

$$\Psi_{ij} = M_{T_H} \left[\Psi_i(t) \Psi_j(t) \right], \quad z_i = M_{T_H} \left[\Psi_i(t) y(t) \right].$$

С учетом конечности интервала наблюдения и наличия помех в измеряемых сигналах система (4.27) представляется в виде

$$\sum_{j=0}^R \Psi_{ij} \alpha_{ij} = z_{ij} + \delta v_i, \quad i \in [0, R], \quad (4.28)$$

$$\Psi_{ij} = M_T \left[\Psi_{si}(t) \Psi_{sj}(t) \right],$$

$$z_{ij} = M_T \left[\Psi_{si}(t) y_s(t) \right],$$

$$\Psi_{si}(t) = \int_0^t \phi_j(t) x_s(t-t) dt,$$

а обобщенная помеха

$$\delta v_i = \sum_{j=0}^R \alpha_{ij} \delta \Psi_{ij} - \delta z_i.$$

Из-за некомпактности обобщенной помехи решается только усеченная система уравнений

$$\sum_{j=0}^R \Psi_{ij} \alpha_{ij} = z_{ij}, \quad (4.29)$$

Эта система уравнений может быть представлена в векторно-матричной форме

$$\Psi_0 \cdot \mathbf{a}_{\text{шв}} = \mathbf{b}_0, \quad (4.30)$$

а ее решение формально записывается в виде

$$\mathbf{a}_{\text{шв}} = \mathbf{G}_0^{-1} \mathbf{b}_0, \quad \mathbf{G}_0 = \Psi_0^{-1}. \quad (4.31)$$

4.4. КАЧЕСТВЕННЫЙ АНАЛИЗ ПРОЕКЦИОННЫХ МЕТОДОВ

Корректирующими параметрами проекционных методов являются:

- порядок аппроксимации K ;
- параметр β функции Лагерра;
- длительность T интервала наблюдения (величина параметра ρT).

Прежде чем обсуждать влияние корректирующих параметров, рассмотрим две особенности, которые возникают при использовании общего ряда Фурье и функций Лагерра в проекционных методах.

1. В целях уменьшения остаточного члена ряда Фурье порядок аппроксимации K необходимо увеличивать. Однако при больших K может возникнуть проблема суммируемости ряда Фурье, что в свою очередь приведет к увеличению ошибки идентификации. Теоретически существует возможность уменьшить эту ошибку за счет введения в ряд Фурье сглаживающих членов авторей.

2. Существует проблема выбора шага дискретизации Δt , на что влияют порядок аппроксимации K и параметр β функции Лагерра. Чем больше K и β , тем меньше должен быть шаг Δt . Рекомендуемое для выбора Δt соотношение

$$\Delta t \leq \frac{1}{2(1+2K)\beta}. \quad (4.32)$$

Ошибка идентификации

$$e_{\text{шв}}(t) = \sum_{r=0}^R e_{ar} \varphi_r(t) + \delta_R(t), \quad (4.33)$$

где $e_{ar} = a_{ar} - a_{\text{шв},r}$, $r \in [0, R]$, состоит из двух составляющих.

На уровень первой составляющей $\epsilon_{\text{ог}}$ влияет обусловленность матрицы решаемой системы уравнений, которая определяется мерностью матрицы и информативностью входного сигнала. В проекционных методах решением алгебраической системы являются коэффициенты Фурье a_{kj} , $j \in [0, R]$, а не отсчеты ИХ u_k , $k \in [1, K_w]$, как, например, в прямых методах, причем всегда $R < K_w$ и этот факт является положительным, поскольку в проекционных методах мерность матрицы будет всегда меньше, что улучшает ее обусловленность.

Информативность входного сигнала обеспечивается при условии $\Omega_x \geq \Omega_{\text{д}}$, где Ω_x и $\Omega_{\text{д}}$ — частоты, ограничивающие эффективные длительности спектра сигнала и АЧХ объекта соответственно.

Кроме того, на ошибку $\epsilon_{\text{ог}}$ еще влияет конечная величина длительности интервала T , на котором наблюдаются измеряемые сигналы.

Вторая составляющая $\delta_B(t)$ определяется остаточным членом аппроксимации. Величина остаточного члена будет тем меньше, чем ближе будут эффективные длительности T_{δ_B} базисных функций Лагерра к эффективной длительности ИХ T_w . Однако такое положение никогда не выполняется, поскольку у каждой r -й функции Лагерра свою длительность $T_{r\delta_B}$. Длительность интервала аппроксимации выбирается из следующих соображений:

$$T_{\delta_B(\delta_B)} < T_w < T_B(\delta_B). \quad (4.34)$$

Длительность $T_{r\delta_B}$ базисной функции определяется параметром β , поэтому выбор параметров β с учетом соотношения (4.6) может быть произведен в виде

$$\frac{2.25}{T_w} < \beta < \frac{2.25(R+1)}{T_w}. \quad (4.35)$$

В целом, как показывают исследования, методическая составляющая ошибки идентификации уменьшается с увеличением параметров T и R при выборе разумного значения параметра β .

Длительность интервала наблюдения T практически всегда оказывается фиксированной величиной.

Параметр β выбирается из условия (4.35).

Порядок аппроксимации K можно определить с помощью итерационной процедуры, на которой сравниваются измеренный и модельный выходные сигналы при изменении порядка аппроксимации. Поясним это выглядит следующим образом.

1. Задается максимальное значение $R_{\max} = 15 \dots 20$.

2. На каждом r -м шаге $r \in [0, R_{\max}]$, выполняются следующие основные операции:

2.1) вычисляются оценки коэффициентов Фурье $a_{n,i}$, $i \in [0, r]$, и восстанавливается оценка ИХ на этом r -м шаге;

2.2) определяется оценка $y_r(t)$ выходного сигнала по идентифицированной оценке ИХ.

$$y_r(t) = \int_0^t w_r(\tau) x_r(t-\tau) d\tau;$$

2.3) вычисляется расхождение между измеренным выходом $y_r(t)$ и поступившим через интеграл смартки $y_d(t)$. Сравнение может быть произведено в виде среднеквадратического отклонения

$$e_{y,r} = \sqrt{\sum_{k=K_x}^{K_f} [y_{rd} - y_{rk}]^2} / \sqrt{\sum_{k=K_x}^{K_f} y_{rk}^2}, \quad (4.36)$$

K_x , K_f – минимальное и максимальное значение точек сравниваемых реализаций сигналов;

2.4) осуществляется проверка

$$e_{y,r} \leq e_{y,\max}, \quad (4.37)$$

где $e_{y,\max}$ – априори задаваемая величина. Если соотношение (4.37) выполняется, то принимается порядок аппроксимации $K = r$, если не выполняется, то осуществляется переход на следующий $r+1$ шаг и так до R_{\max} .

На этом процедура выбора порядка аппроксимации K заканчена.

В том случае, если неравенство (4.37) не выполняется для всех $r \in [0, R_{\max}]$, то рекомендуется изменить значение параметра β . Если

и после этого соотношение (4.37) не выполняется, то порядок аппроксимации K выбирается таким, при котором обеспечивается

$$c_{j_k R} = \min_{r \in [0, K_{\max}]} c_{j_k r}. \quad (4.38)$$

Помехоустойчивость в проекционных методах обеспечивается за счет использования интегральных операторов, обладающих сложившими свойствами, при вычислении оценок коэффициентов Фурье $a_{k\omega r}$, $r \in [0, K]$. Кроме того, помехоустойчивость определяется еще и статистическими свойствами поиска и улучшается с увеличением длины T .

Отметим, что проекционные методы занимают больший объем оперативной памяти, поскольку необходимо хранить 15...20 массивов $\Gamma_j(t)$, чтобы потом выбрать один, удовлетворяющий (4.38).

5. РЕГУЛЯРИЗУЮЩИЕ МЕТОДЫ ИДЕНТИФИКАЦИИ ИМПУЛЬСНОЙ ХАРАКТЕРИСТИКИ

5.1. ОБЩИЕ ПОЛОЖЕНИЯ

Регуляризующие алгоритмы идентификации ИХ представляют собой численные методы решения интегральных уравнений первого рода, среди которых можно выделить метод регуляризации А.Н. Тихонова и метод скользящей тейлоровской аппроксимации. Эти методы не наследуют принципиальных ограничений на степень колебательности идентифицируемой ИХ $m(t)$ и ориентированы на использование импульсных входных сигналов, удовлетворяющих условию финитности. Ограничимся рассмотрением широко распространенного метода регуляризации А.Н. Тихонова (МРТ).

5.2. МЕТОД РЕГУЛЯРИЗАЦИИ А.Н. ТИХОНОВА

МРТ базируется на преобразовании Фурье и предполагает выполнение следующих операций:

1) определение комплексного спектра реализации $x_s(t)$:

$$X_s(j\omega) = \text{Фо} [x_s(t)], \quad \omega \in (-\infty, \infty); \quad (5.1)$$

2) определение комплексного спектра реализации $y_s(t)$:

$$Y_s(j\omega) = \text{Фо} [y_s(t)], \quad \omega \in (-\infty, \infty); \quad (5.2)$$

3) формирование оценки $\hat{W}_s(j\omega)$ АФХ $W(j\omega)$:

$$\hat{W}_s(j\omega) = q_2(\alpha, \beta) \left[Y_s(j\omega) / X_s(j\omega) \right], \quad \omega \in (-\infty, \infty), \quad (5.3)$$

прочем стабилизирующий множитель $q_c(\omega, \rho)$ должен удовлетворять достаточно общим требованиям и, в частности, он может задаваться в виде

$$q_c(\omega, \rho) = \frac{X_c(j\omega)X_c(-j\omega)}{X_c(j\omega)X_c(-j\omega) + \rho\Phi^{-1}(\omega)},$$

где ρ и $\Phi(\omega)$ – параметр регуляризации и АЧХ стабилизирующего фильтра;

4) определение оценки $w_o(t)$:

$$w_o(t) = \text{Fo}^{-1}[W_o(j\omega)], \quad t \in [0, \infty). \quad (5.4)$$

Стабилизирующий множитель $q_c(\omega, \rho)$ с параметром регуляризации ρ вводится в выражение (5.3), поскольку нарушается условие устойчивости задачи (5.4) обратного преобразования Фурье из-за отсутствия затухания оценки АФХ $W_o(j\omega)$ и наличия исступающего комплексного спектра $\delta Y(j\omega)$ при $\delta v(t) = 0$ и $\omega \rightarrow \infty$ (напомним, что $Y_o(j\omega) = Y(j\omega) + \delta Y(j\omega)$).

Стабилизирующий множитель обладает следующими свойствами:

- 1) $q_c(\omega, \rho) = q_c(-\omega, \rho)$, $\omega \in [0, \infty)$;
- 2) $q_c(\omega, \rho) \in [0, 1]$, $\rho \geq 0$, $\omega \in (-\infty, \infty)$;
- 3) $q_c(\omega, 0) = 1$;
- 4) $q_c(\omega, \rho) \rightarrow 0$ при $\rho \rightarrow \infty$, $\omega \neq 0$;
- 5) $q_c(\omega, \rho) \rightarrow 0$ при $\omega \rightarrow \pm\infty$, $\rho > 0$.

Выражение (5.3) может быть записано в форме

$$W_o(j\omega) = Q(\omega)[W(j\omega) + \{1 / X_o(j\omega)\}[\delta Y(j\omega) - W(j\omega)\delta Y(j\omega)]],$$

$$Q(\omega) = \frac{\kappa\Phi(\omega)X_o(j\omega)X_o(-j\omega)}{1 + \omega\Phi(\omega)X_o(j\omega)X_o(-j\omega)},$$

где $\kappa = 1/\rho$; $\delta K(j\omega) = \text{Fo}[\delta v(t)]$; $\delta Y(j\cdot\omega) = \text{Fo}[\delta v(t)]$; $Q(\omega)$ – АЧХ стабилизирующего фильтра.

Последнее выражение структурно представляется в виде следующей системы (рис. 5.1), на входе которой действуют ИХ $v(t)$ и приведен-

ная помеха $\delta w(t)$, определяемая помехами $\delta r(t)$ и $\delta u(t)$, а на выходе – полученная оценка $w_o(t)$. Такая структурная схема позволяет наглядно проиллюстрировать возможности метода.

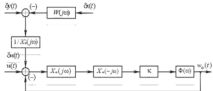


Рис. 5.1

В качестве АЧХ $\Phi(\omega)$ может быть использована любая кусочно-непрерывная функция частоты ω , удовлетворяющая условию:

$$\Phi(-\omega) = \Phi(\omega), \quad \Phi(0) \geq 0, \quad \Phi(\omega) > 0 \text{ при } \omega \neq 0;$$

в частности, удобно выбрать функцию $\Phi(\omega)$ в виде

$$\Phi(\omega) = 1 / \left[1 + \chi (\omega / \Omega_0)^L \right], \quad (5.5)$$

где величина L – целое четное положительное число.

Параметры χ , Ω_0 и L непосредственно определяют показатели АЧХ стабилизирующего фильтра $\Phi(\omega)$ (рис. 5.2), а именно:

- верхнюю граничную частоту Ω_0 полосы пропускания $[0, \Omega_0]$;
- неравномерность

$$\Delta_\Phi = \chi / (1 + \chi)$$

АЧХ $\Phi(\omega)$ в полосе пропускания $[0, \Omega_0]$:

- ширину

$$\Delta\Omega_\Phi = \left[\sqrt{(1 - \delta_\Phi) / (\chi - \delta_\Phi)} - 1 \right] \Omega_0$$

переходной полосы при задаваемой неравномерности δ_Q в полосе задерживания $[\Omega_Q + \Delta\Omega_Q, \infty)$. Таким образом, при $\Phi(\omega)$ виде (5.5) корректирующими параметрами МРТ являются параметры ρ , χ , Ω_Q и L .

В тракте следящей системы находится звено с АЧХ

$$|X_s(j\omega)|^2 = X_s(j\omega)X_s(-j\omega),$$

а следовательно, оценка $w_q(t)$ будет содержать существенные гармоники ИХ $w(t)$ только при достаточной информативности входного сигнала.

АЧХ $\Phi(\omega)$ стабилизирующего фильтра, определяющая основные свойства МРТ, так же как и АЧХ $\Phi(\omega)$ стабилизирующего фильтра, может быть охарактеризована неравномерностью Δ_Q в полосе пропускания, неравномерностью δ_Q в полосе задерживания, верхней граничной частотой Ω_Q полосы пропускания и шириной $M\Omega_Q$ переходной полосы (рис. 5.3).

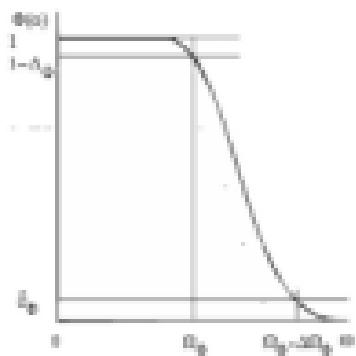


Рис. 5.3

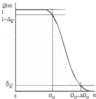


Рис. 5.3

Достаточное условие наличия существенных гармоник ИХ $w(t)$ в оценке $w_q(t)$ формулируется в виде

$$\Omega_Q \geq \Omega_W. \quad (5.6)$$

Качественный анализ можно осуществлять в предположении, что при условии (3.6) для существенного диапазона частот $[0, \Omega_{\text{ff}}]$ в первом приближении выполняется

$$|X_s(\omega)|^2 \approx X_{\text{sm}}^2 \text{ при } \omega \in [0, \Omega_{\text{ff}}],$$

где, например, для импульсного входного сигнала $x(t)$ индекс полупериода синусоиды имеет смысл

$$X_{\text{sm}} = X_{\text{av}} = (2\pi)\bar{x}_x x_m.$$

В этом случае АЧХ $Q(\omega)$ определяется приближенным выражением

$$Q(\omega) = \frac{(1/\rho)\Phi(\omega)X_{\text{sm}}^2}{1 + (1/\rho)\Phi(\omega)X_{\text{sm}}^2} \quad (3.7)$$

и с учетом условий $\rho \ll 1$, $\delta_Q \ll 1$ получаем

$$\Omega_Q = \sqrt{\frac{X_{\text{sm}}^2 \Delta_Q}{\rho(1 - \Delta_Q)}} \Omega_\Phi, \quad (3.8)$$

$$\Delta Q = \sqrt{\frac{1 - \Delta_Q}{\Delta_Q \delta_Q}} \Omega_Q. \quad (3.9)$$

Методическая составляющая ошибки идентификации $e_g(t)$ появляется исходным значением параметра регулирования ρ , и ее уровень понижается при уменьшении параметра ρ , что соответствует увеличению коэффициента усиления $k = 1/\rho$ прямого тракта следящей системы.

Помехоустойчивость МРТ достигается за счет стягивающего фильтра, который при соответствующем выборе параметров стабилизирующего фильтра (χ , Ω_Φ , L) может обеспечить очень качественное стягивание высокочастотных составляющих помех $\delta u(t)$ и $\delta v(t)$.

Из сказанного можно заключить, что для обеспечения приемлемой ошибки идентификации должны выполняться следующие требования:

- 1) достаточная информативность входного сигнала $x(t)$ ($\Omega_x \geq \Omega_{\text{ff}}$);

2) наличие существенных гармоник ИХ $w(t)$ в оценке $w_0(t)$, что достигается выполнением условия

$$\Omega_Q \geq \Omega_W; \quad (5.10)$$

3) малый уровень методической составляющей ошибки идентификации, что достигается выбором малого значения параметра регуляризации ρ , например, из диапазона

$$\rho \in [10^{-6}, 10^{-4}]; \quad (5.11)$$

4) необходимое качество АЧХ $Q(\omega)$ спадающего фильтра, обеспечиваемое показателями Ω_Q и M_Q/Ω_Q , в которые могут быть пересчитаны корректирующие параметры χ , Ω_R и L .

На практике для удобства некоторые параметры и показатели могут быть приори зафиксированы, например, можно положить

$$\Delta_Q = 0,05, \quad \delta_Q = 0,01, \quad \chi = 0,5.$$

6. СТРУКТУРНАЯ ИДЕНТИФИКАЦИЯ ЛИНЕЙНОГО СТАЦИОНАРНОГО ОБЪЕКТА

6.1. ОБЩИЕ ПОЛОЖЕНИЯ

Математические модели в виде ДУ или ПФ являются наиболее общей формой уравнения связи между переменными состояния на входе и выходе линейного объекта при синтезе систем управления.

Рассмотрим задачу определения порядков n и m (структурная идентификация), а при необходимости и коэффициентов a_i , $i \in [1, n]$, b_j , $j \in [1, m+1]$ (параметрическая идентификация) уравнения (2.1), описывающего линейный, непрерывный динамический (ЛНД) объект или порядков \hat{n} и \hat{m} , и коэффициентов \hat{a}_j , $j \in [1, \hat{n}]$, \hat{b}_j , $j \in [1, \hat{m}+1]$ уравнения (2.8), описывающего линейный дискретный динамический (ЛДД) объект. Уравнения (2.1) и (2.8) соответствуют непрерывной ПФ (2.2) и дискретной ПФ (2.9).

В общем случае априорной информацией для решения поставленной задачи служат измеренные (как правило, с помехами) реализации входного $x_u(t)$ и выходного $y_u(t)$ сигналов объекта.

Иногда известна дополнительная информация о порядках n (\hat{n}), m (\hat{m}) объекта идентификации, что существенно упрощает задачу определения математической модели, сводя ее к чисто параметрической идентификации.

6.2. МЕТОД ПЕРЕХОДНЫХ ФУНКЦИЙ

Метод переходных функций представляет собой простейший случай активной идентификации.

На вход идентифицируемого объекта подается ступенчатое воздействие. На выходе имеем переходную характеристику, или, как ее

иногда называют, кривую разгона. Полученная кривая аппроксимируется аналитическим выражением, например, виде

$$y(t) = \sum_{r=0}^R b_r e^{-\alpha r t},$$

а затем по аналитическим выражениям входного $x(t)$ и выходного $y(t)$ сигналов могут быть найдены их изображения по Лапласу, получены НФ и ДУ.

Однако спектр сигнала типа ступенчатого воздействия близок к виду затухающей колебательности и несит низкочастотный характер. В результате он малоинформативен и точность определения характеристик объектов в области высоких частот с помощью метода переходных функций очень низка. Если же выходной сигнал $y(t)$ искается случайными помехами, то качество идентификации еще больше ухудшается.

Другие тестовые сигналы, которых удается реализовать, например трапециoidalный, также имеют спектры, которые несут низкочастотный характер.

Недостатки метода переходных функций частично парируются в так называемых частотных методах. Однако и они в настоящее время практически не используются.

6.3. ИДЕНТИФИКАЦИЯ СТРУКТУРЫ ПОСРЕДСТВОМ α -ПРОЦЕДУРЫ

Процедура αl применяется при идентификации структуры и параметров ЛНД- и ЛДД-объектов. Суть ее рассмотрим на примере ЛНД-объекта.

На каждом r -м шаге итерационной процедуры, где $r \in [1, R]$, а $R > n$ задается горючий, параметр l последовательно принимает значения из диапазона $l \in [0, r]$, в результате чего получаем оценки модели (2.1) в виде

$$y^{(r)}(t) + \sum_{i=1}^r a_{ri} y^{(i-1)}(t) = \sum_{i=1}^{[t]} b_{ri} x^{(i-1)}(t), \quad r \in [1, R], \quad l \in [0, r]. \quad (6.1)$$

При необходимости находим и r^l -оценки ПФ

$$W_{rl}(s) = \frac{B_{rl}(s)}{A_{rl}(s)},$$

Здесь же определяются и оценки коэффициентов полиномов $A_r(s)$ и $B_{rl}(s)$, а также модельные сигналы

$$y_{rl}(t) = Lp^{-1} \{ W_{rl}(s) Lp(x(t)) \}. \quad (6.2)$$

Далее вычисляются рассогласования

$$e_{rl}(t) = y_r(t) - y_{rl}(t), \quad t \in [0, T_f]. \quad (6.3)$$

а при необходимости в ряд других выборочных показателей, например, математические ожидания, дисперсии сигналов $y_r(t)$ и $y_{rl}(t)$.

Оценки порядков r и m определяются в результате анализа совокупности функционалов $c_{rl}(T_j(t))$, $t \in [1, R]$, $T_j \in [0, r]$. При этом имеется понятие состоятельности оценок, под которой понимается тот факт, что вероятность ошибки определения порядков $r = n$ и $l = m$ должна стремиться к 0 при $T_j \rightarrow \infty$.

Способы определения порядков r и m могут быть общими и три группы, которые базируются:

- 1) на исследовании ранговых критериев,
- 2) минимизации информационных критериев,
- 3) проверке статистических гипотез.

Дополнительная четвертая группа включает в себя другие, не входящие в первые три группы показатели определению структуры.

Ранговые критерии базируются на том, что на любом конечном или бесконечном интервале времени $t \in [T_0 \geq 0, T_f = T_0 + T_0 \leq \infty]$ совокупность $(n+m+1)$ функций $y^{(i-1)}(t)$, $i \in [1, n]$, $-x^{(i-1)}(t)$, $i \in [1, m+1]$ представляет собой систему линейно независимых функций, поскольку

$$\sum_{i=1}^n a_i y^{(i-1)}(t) + \sum_{i=1}^{m+1} b_i x^{(i-1)}(t) = -y^{(n)}(t), \quad (6.4)$$

а совокупность $(n+m+2)$ -функций $y^{(j=0)}(t)$, $t \in [1, n+1]$, $-x^{(j=0)}(t)$, $t \in [1, m+1]$ образует систему линейно зависимых функций, так как

$$y^{(n)}(t) + \sum_{i=0}^m a_i t^{(i-1)}(t) - \sum_{i=0}^{m+1} b_i x^{(i-1)}(t) = 0. \quad (6.5)$$

Если посредством какого-либо критерия устанавливается факт перехода от системы линейно независимых функций (6.4) к линейно зависимой системе (6.5) при $r = r_0$ и $J = J_0$, то полагается $a_0 = r_0$, $b_0 = J_0$.

Сложность использования ранговых критериев обусловлена наличием помех, а также методических и вычислительных ошибок, что приводят к проблеме определения критерия, который свидетельствует о переходе к линейно зависимой системе функций.

При использовании информационных критериев оценки порядков n и m отыскиваются в рамках rJ -процедуры в виде $r_0 = r_0$ и $J_0 = J_0$, где r_0 и J_0 определяются из условия

$$e_{r_0 J_0}(T_r) = \min_{r \in [1, R]} e_n(T_r). \quad (6.6)$$

Проверка статистических гипотез применяется в основном при оценивании параметров авторегрессионных (AP) и авторегрессионно-свингового среднего (APCC) моделей, когда в качестве априорной информации используется только выходной сигнал объекта в предположении, что на его входе — случайный сигнал типа «белый шум» с известной дисперсией.

6.4. ИДЕНТИФИКАЦИЯ СТРУКТУРЫ ПО ОЦЕНКЕ ИХ ОБЪЕКТА

Предлагаемый подход к оцениванию структуры и параметров базируется на восстановлении РУ (дискретной ПФ), а затем и ДУ (непрерывной ПФ) по оценке ИХ, т. е. в данном случае в качестве априорной информации используются не сигналы входа и выхода объекта, а предварительно идентифицированная ИХ.

Достоинства такого подхода по сравнению с ранее рассмотренными в следующем.

1. Нет необходимости измерять производные входного и выходного сигналов объекта, что, вообще говоря, представляет весьма существенную проблему. Для решения же задачи идентификации ИХ не требуется наличие производных в качестве априорной информации.

2. Известны (см. раздел 3) высокоеффективные алгоритмы идентификации ИХ, которые малочувствительны к степени колебательности ИХ объекта и обладают высокой помехоустойчивостью. В результате помехи высокого уровня, исказжающие реализации входного и выходного сигналов объекта, трансформируются в помеху существенно меньшего уровня, исказжающую идентифицируемую оценку ИХ. Например, модифицированный МНК идентификации ИХ дает относительную среднеквадратичную ошибку e_m , на порядок меньшую относительного максимального уровня b_{\max} широкополосной помехи $b_M(t)$, исказжающей выходной сигнал $y(t)$ объекта на интервале наблюдения.

Основной недостаток метода, базирующегося на восстановлении РУ и ДУ – предварительная идентификация ИХ объекта.

Таким образом, задачу сформулируем в следующем виде. Требуется оценить порядок и коэффициенты полиномов числителя и знаменателя дискретной ПФ (2.9), а в качестве априорной информации использовать реализацию отсчетов $w_d(t) = n(t) + b_d(t)$ ИХ $n(t)$, заданной K_w отсчетами $w_{d,k} = w_d[(k-1)\Delta t]$ с шагом Δt , $k \in [1, K_w]$. Дополнительно предполагается известной оценка верхней частоты Ω_H эффективной полосы АЧХ объекта, которая, вообще говоря, определяется в процессе идентификации ИХ.

Поставленная задача решается на базе Z -преобразования

$$\hat{W}(z) = \frac{\hat{B}(z)}{\hat{A}(z)} = \sum_{k=1}^m n_k z^{-(k-1)}. \quad (6.7)$$

Связь между отсчетами n_k реализации ИХ и коэффициентами полиномов $\hat{B}(z)$ и $\hat{A}(z)$ может быть представлена в виде

$$n_k = 0, \quad k \in [1, \hat{k} - \hat{m}], \text{ при } \hat{k} - \hat{m} \geq 1,$$

$$n_k = \delta_{(\hat{k}-\hat{m})}, \quad k = \hat{k} - \hat{m} + 1, \text{ при } \hat{k} - \hat{m} \geq 1,$$

$$w_k = \hat{b}_{(k+\hat{\alpha}-\hat{\delta})} - \sum_{i=\hat{\alpha}+2-\hat{\delta}}^{\hat{\delta}} \hat{a}_i w_{(k+i-\hat{\delta}-i)}, \quad k \in [\hat{\alpha} - \hat{\delta} + 1, \hat{\delta} + 1],$$

$$w_k = - \sum_{i=1}^{\hat{\delta}} \hat{a}_i w_{(k+i-\hat{\delta}-i)}, \quad k \in [\hat{\alpha} + 2, \infty).$$

Данные выражения, по существу, представляют собой расчетные формулы обратного Z -преобразования, которые для нашей задачи удобнее преобразовать к следующему виду:

$$w_k = 0, \quad k \in [1, \hat{\alpha} - \hat{\delta}], \text{ при } \hat{\delta} > \hat{\alpha}, \quad (6.8)$$

$$\hat{b}_i = w_{(i+\hat{\alpha}-\hat{\delta})} + \sum_{r=i}^{\hat{\delta}} \hat{a}_r w_{(r+i-\hat{\delta})}, \quad i \in [1, \hat{\delta} + 1], \quad (6.9)$$

$$w_{(\hat{\alpha}+1+k)} + \sum_{i=1}^{\hat{\delta}} \hat{a}_i w_{(i+k)} = 0, \quad k \in [1, \infty). \quad (6.10)$$

Из соотношения (6.10) следует, что на любом конечном или бесконечном $k \in [K_0 \geq 1, K_f \leq \infty]$ множестве функции $w_{(j+k)}$, $j \in [1, \hat{\delta}]$, образуют систему $\hat{\delta}$ линейно независимых функций, а $w_{(r+k)}$, $i \in [1, \hat{\delta} + 1]$ – линейно зависимую систему.

Как и в ранее рассмотренной rl -процедуре, производны перебор порядка $\hat{\delta}$, т. е. на каждом r -м шаге ($r = 2, 3, \dots, R > \hat{\delta}$) формируются однородные уравнения:

$$w_{(r+k)} + \sum_{i=1}^{\hat{\delta}} \hat{a}_i w_{(i+k)} = 0, \quad k \in [K_0, K_f],$$

и проверяется линейная зависимость функций $w_{(j+k)}$, $j \in [1, r]$. Если на некотором r_0 -м шаге $w_{(j+k)}$, $j \in [1, r_0]$, стали линейно зависимыми, то

$$\hat{\delta} = r_0 - 1. \quad (6.11)$$

Здесь, как и в rl -процедуре, возникает проблема определения линейной зависимости функций.

Однако если сравнивать сложность рассмотренного подхода и rl -процедуры, то в данном случае отсутствует перебор структуры модели по параметру J .

7. ПАРАМЕТРИЧЕСКАЯ ИДЕНТИФИКАЦИЯ ЛИНЕЙНОГО СТАЦИОНАРНОГО ОБЪЕКТА

7.1. ИДЕНТИФИКАЦИЯ ЛНД-МОДЕЛИ

ЛНД-модель идентифицируемого объекта будем представлять в виде

$$\sum_{j=1}^n a_j u_j(t) = u_0(t), \quad (7.1)$$

где a_j , $j \in [1, n]$ – идентифицируемые параметры, а $u_j(t)$, $j \in [1, n]$ – координаты объекта. Подобного вида модель может быть получена, если в ДУ

$$y^{(l)}(t) + \sum_{j=0}^l a_j y^{(l-j)}(t) = \sum_{j=l+1}^{n+1} b_j x^{(l-j)}(t)$$

ввести обозначения:

$$u_j(t) = y^{(j)}(t), \quad a_j = a_j, \quad j \in [1, l],$$

$$u_j(t) = -x^{(j)}(t), \quad a_j = b_j, \quad j \in [l+1, n],$$

$$u_0(t) = -y^{(l)}(t).$$

Станется задача определить коэффициенты a_j , $j \in [1, n]$. уравнения (7.1) в предположении, что порядок l и координаты $u_j(t)$, $j \in [0, n]$, известны.

Для решения поставленной задачи сформируем систему из $2n$ линейных алгебраических уравнений следующим образом. Слагаемые

уравнения (7.1) умножим на некоторые линейно независимые функции $w_j(t-\tau)$, $j \in [1, n]$, и проинтегрируем на интервале $[0, t]$. Получим

$$\sum_{j=1}^n a_j \int_0^t w_j(t-\tau) w_j(\tau) d\tau = \int_0^t w_j(t-\tau) u_0(\tau) d\tau, \quad j \in [1, n], \quad (7.2)$$

или

$$\sum_{j=1}^n a_j w_0(t) = u_0(t), \quad j \in [1, n]. \quad (7.3)$$

Физически это означает (рис. 7.1), что координаты $w_j(t)$, $j \in [0, n]$, про-
пускаются через некие фильтры с ИХ
 $w_j(t)$, на выходе которых получа-
ем элементы матрицы $w_0(t)$, $j \in [1, n]$,



Рис. 7.1

$j \in [1, n]$ и вектора правой части $u_0(t)$, $t \in [0, m]$, системы линейных алгебраических уравнений:

$$U(t)\mathbf{u} = \mathbf{u}_0(t),$$

$$U(t) = [u_{ij}(t), i \in [1, m], j \in [1, n]],$$

$$\mathbf{u} = [u_j, i \in [1, n]], \quad \mathbf{u}_0(t) = [u_{0i}, i \in [1, m]],$$

которая при $t = T$ выглядит как

$$U\mathbf{u} = \mathbf{u}_0. \quad (7.4)$$

Поскольку может выполняться условие $m > n$, система (7.4) прево-
ратится к виду

$$U^T U \mathbf{u} = U^T \mathbf{u}_0, \quad (7.5)$$

а ее решение

$$\mathbf{u} = (U^T U)^{-1} U^T \mathbf{u}_0 \quad (7.6)$$

может быть получено при условии невырожденности матрицы $U^T U$,
что обеспечивается за счет:

1) линейной независимости координат $u_j(t)$, $j \in [1, n]$, $t \in [0, T]$, для чего входной сигнал объекта должен содержать не менее $n/2$ гармоник;

2) линейной независимости функций $u_j(t)$, $t \in [0, T]$.

Следует отметить проблему, возникающую в описанном методе идентификации (вирочки, как и в других случаях описания параметров ЛИД-объекта), связанную с информацией о производных входного $u(t)$ и выходного $y(t)$ сигналов. Указанные производные входят в систему координат $u_j(t)$, $j \in [1, n]$, а фактически можно измерить лишь только сами сигналы. В результате приходится прибегать к искусственным приемам, позволяющим избежать операции дифференцирования зашумленных сигналов. Одним из таких приемов является известное в математике интегрирование по частям. Напомним это правило:

$$\int_a^b u dv = uv \Big|_a^b - \int_a^b v du .$$

В нашем случае имеем, например,

$$\int_0^T u_i(T-t)y^{(2)}(t)dt = u_i(T-t)y(t) \Big|_0^T + \int_0^T u_i^{(1)}(T-t)y^{(1)}(t)dt ,$$

так как

$$u = u_i(T-t), \quad du = -u_i^{(1)}(T-t)dt ,$$

$$dv = y^{(2)}(t)dt, \quad v = y^{(1)}(t)$$

и далее

$$\begin{aligned} & u_i(T-t)y(t) \Big|_0^T + \int_0^T u_i^{(1)}(T-t)y^{(1)}(t)dt = \\ & = \left[u_i(T-t)y^{(1)}(t) + u_i^{(1)}(T-t)y(t) \right]_0^T + \int_0^T u_i^{(2)}(T-t)y(t)dt , \end{aligned}$$

поскольку

$$u = u_i^{(1)}(T-t), \quad du = -u_i^{(2)}(T-t)dt, \quad dv = y^{(1)}(t)dt, \quad v = y(t) .$$

В общем случае выражение интегрирования по частям, позволяющее избежать операции дифференцирования сигналов, выглядит следующим образом:

$$\begin{aligned} \int_0^T u_i(T-t) y^{(j)}(t) dt = & \sum_{r=0}^{j-1} u_i^{(r)}(T-t) y^{(j-1-r)}(t) \Big|_0^T + \\ & + \int_0^T u_i^{(j)}(T-t) y(t) dt. \end{aligned} \quad (7.7)$$

Для обеспечения корректности описанного подхода помимо требований, предъявляемых к функциям $u_i(t)$, $i \in [1, m]$, необходимо выполнить соотношения

$$u_i^{(r)}(0) = u_i^{(r)}(T) = 0, \quad r \in [0, j-1], \quad (7.8)$$

что позволяет обеспечить

$$\sum_{r=0}^{j-1} u_i^{(r)}(T-t) y^{(j-1-r)}(t) \Big|_0^T = 0. \quad (7.9)$$

Корректирующими параметрами алгоритма идентификации являются:

- 1) мд функций $u_i(t)$, $i \in [1, m]$, формирующих алгебраическую систему;
- 2) длительность T интервала интегрирования;
- 3) количество m формируемых уравнений.

Указанные параметры определяют свойства матрицы $U^T U$ формируемой системы уравнений, в частности ее обусловленность, анализ которой позволил дать рекомендации по выбору корректирующих параметров.

Линейная независимость строк алгебраической системы (7.5) будет выполняться наилучшим образом, если АЧХ $|W_i(j\omega)|$, $i \in [1, m]$, формирующих звенья с ИХ $w_i(t)$, $i \in [1, m]$, будут представлять собой АЧХ полосовых фильтров с разнесенными полосами пропускания в диапазоне частот $\omega \in [0, \Omega_p]$ эффективной длительности АЧХ идентифицируемого объекта, как показано на рис. 7.2.

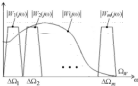


Рис. 7.2

Выполнение этого условия дополнительно позволяет устранить постоянную и высокочастотную составляющие помех, исказяющие измерения $m_j(j\omega)$, $j \in [1, n]$, что положительно скажется на помехоустойчивости алгоритма идентификации. Влияние параметра T на свойства матрицы таково, что с его увеличением обусловленность матрицы $\bar{U}^T U$ становится лучше, поскольку при этом усиливается сплаживающие свойства интегрального оператора.

Чем больше количество m формируемых уравнений (строк матрицы U), тем лучше обусловленность матрицы $\frac{1}{m}(\bar{U}^T \cdot U)$ вследствие более качественного усреднения высокочастотных помех при выполнении операции первой трансформации Гаутса.

Однако практически реализовать указанные выше рекомендации по выбору корректирующих параметров, как правило, не удается.

Если обозначить через $\Delta\Omega_i = \Delta\Omega = \text{const}$, $i \in [1, m]$, полосы пропускания формирующих фильтров, то параметр m можно будет определить из условия

$$m\Delta\Omega = \Omega_W. \quad (7.10)$$

С другой стороны, для конкретного типа полосовых фильтров выполняется соотношение

$$m\bar{T}_w = \kappa = \text{const}, \quad (7.11)$$

где T_w – длительность ИХ фильтра. Таким образом, чем уже полоса пропускания АЧХ, тем больше длительность ИХ T_w , и тем сложнее реализация фильтра.

Из (7.11) следует

$$\Delta\Omega = \kappa/T_w . \quad (7.12)$$

Подставляя (7.12) в (7.10), получаем

$$\lim_{m \rightarrow \infty} \frac{1}{T_w} = \Omega_W ,$$

откуда

$$T_w = \lim_{m \rightarrow \infty} \frac{1}{\Omega_W} . \quad (7.13)$$

В результате приходим к тому, что $T = T_w$, а $m = n$.

Следует отметить, что идентифицируемые объекты, как правило, имеют низкочастотный характер и даже в случае $m = n$ разместить в диапазоне $[0, \Omega_W]$ АЧХ объекта и фильтров с перекрывающимися полосами пропускания $\Delta\Omega$ не удается.

7.2. ИДЕНТИФИКАЦИЯ ЛДЛ-МОДЕЛИ

Линейные дискретные динамические (ЛДД) модели описываются разностным уравнением

$$y_k + \sum_{i=1}^n a_i y_{[k-(n+1-i)]} = \sum_{j=1}^{m+1} b_j x_{[k-(n+1-j)]} .$$

С учетом помех b_{n+1} и b_{m+1} , искающие измеряемые сигналы на интервале K_y , это уравнение будет иметь вид

$$y_{n+1} + \sum_{i=1}^n a_i y_{[k-(n+1-i)]} = \sum_{j=1}^{m+1} b_j x_{[k-(n+1-j)]} + \delta v_1 , \quad (7.14)$$

где

$$\delta v_k = \delta y_k + \sum_{i=1}^n a_i \delta y_{[k-(n+1)-i]} - \sum_{j=1}^{m+1} b_j \delta u_{[k-(n+1)-j]}, \quad (7.15)$$

— обобщенная помеха.

Фиксируя уравнение (7.14) в точках $k \in [K_s, K_f]$, где $K_s = K_w + 1$, $K_f = K_s + K_0$, $K_f \leq K_p$, $K_0 \geq n+m+1$, K_w — время переходного процесса или, что то же самое, эффективная длительность ИХ, K_0 раз получим систему линейных алгебраических уравнений

$$u_{ik}^T a = y_{ik} + \delta v_k,$$

или

$$U_a a = y_a + \delta v, \quad (7.16)$$

где

$$a = [a_i, i \in [1, n], b_i, i \in [1, m+1]],$$

$$u_{ik} = [y_{[k-(n+1)-i]}, i \in [1, n], -x_{[k-(n+1)-i]}, i \in [1, m+1]],$$

$$U_a = [u_{ik(K_0+k)}^T, k \in [1, K_0]],$$

$$y_a = [y_{[K_0+k]}, k \in [1, K_0]],$$

$$\delta v = [\delta v_{[K_0+k]}, k \in [1, K_0]].$$

Поскольку в общем случае $K_0 \geq n+m+1$, система (7.16) приводится к виду

$$U_a^T U_a a = U_a^T y_a + U_a^T \delta v, \quad (7.17)$$

и искомое решение будем определять из системы

$$V_{av} a = f_{av} + f_{adv}, \quad (7.18)$$

где

$$V_{av} = \frac{1}{K_0} \sum_{k=1}^{K_0} u_{ik(K_0+k)}^T u_{ik(K_0+k)}.$$

$$\mathbf{f}_{\alpha y} = \frac{1}{K_0} \sum_{k=1}^{K_0} \mathbf{u}_{\alpha(K_0+k)} \mathbf{y}_k , \quad (7.19)$$

$$\mathbf{f}_{\alpha \delta y} = \frac{1}{K_0} \sum_{k=1}^{K_0} \mathbf{u}_{\alpha(K_0+k)} \delta \mathbf{y}_k . \quad (7.20)$$

Решение системы (7.18) ищем методом наименьших квадратов (МНК) из условия минимума функционала

$$J = \frac{1}{K_0} \sum_{k=1}^{K_0} \delta \mathbf{y}_k^2 ,$$

в результате чего МНК-оценку искомых параметров определим из усеченной системы алгебраических уравнений

$$\mathbf{V}_{\alpha \alpha} \mathbf{a}_\alpha = \mathbf{f}_{\alpha y} \quad (7.21)$$

в виде

$$\mathbf{a}_\alpha = \mathbf{V}_{\alpha \alpha}^{-1} \mathbf{f}_{\alpha y} . \quad (7.22)$$

Следует отметить, что МНК-оценки, найденные согласно (7.22), получаются смещенными относительно истинных параметров.

Ошибка идентификации

$$\mathbf{e} = \mathbf{u} - \mathbf{u}_0$$

возникает из-за отбрасывания неизмеренного вектора $\mathbf{f}_{\alpha \delta y}$, правой части системы и может быть уменьшена за счет компенсации влияния узлового вектора, что реализуется в так называемом прямом комплексном МНК (ПКМНК).

Помимо компенсационного подхода возможны другие способы уменьшения ошибок идентификации. Для описания этих способов воспользуемся аппаратом корреляционных функций.

Взаимная корреляционная функция между сигналами $x(t)$ и $y(t)$ в идеальном случае выглядит как

$$R_{xy}(t) = \lim_{T_0 \rightarrow \infty} \int_0^{T_0} x(t)y(t+t)dt = M_{xy}\{x(t)y(t+t)\} ,$$

Конечность длины интервала T_0 и вычисление интеграла посредством квадратурной формулы позволяют определить лишь оценку

$$\hat{R}_{xyf} = \frac{1}{K_0} \sum_{j=1}^{K_0} x_j y_{(j+1)} = M_{K_0}(x_j y_{(j+1)}) . \quad (7.23)$$

Если сравнить (7.23) с выражениями слагаемых системы (7.18), то будет очевидно, что элементы матрицы V_{uv} и векторов f_{uy} и f_{ub} представляют собой отчеты автокорреляционных и взаимокорреляционных функций, что позволяет записать алгебраическую систему (7.18) в эквивалентном виде

$$\sum_{j=1}^n \hat{R}_{u_i u_i(j-i)} \theta_j = \hat{R}_{u_i y_i(j-i)} + \hat{R}_{u_i b_i(j-i)} . \quad (7.24)$$

Из (7.24) следует, что помимо компенсации неизмеримого вектора уменьшение ошибки идентификации будет иметь место, если оценка:

- $\hat{R}_{u_i b_i(j-i)}$ будет стремиться к 0,
- $\hat{R}_{u_i y_i(j-i)}$ будет стремиться к истинной $R_{u_i y_i(j-i)}$,
- $\hat{R}_{u_i y_i(j-i)}$ будет стремиться к истинной $R_{u_i y_i(j-i)}$.

Попытки реализации уменьшения ошибки идентификации были сделаны в алгоритмах:

- 1) прямым компенсационным МНК (ПКМНК);
- 2) обобщенным МНК (ОМНК);
- 3) рекурсивным МНК (РМНК) и близком к нему алгоритмом Качмана (АК);
- 4) методе инструментальной переменной (МИП).

7.2.1. ПРЯМОЙ КОМПЕНСАЦИОННЫЙ МНК

Ставится задача скомпенсировать влияние неизмеримого вектора f_{ub} системы (7.18) на ошибку идентификации. Для этой цели проводим анализ указанного вектора в предположении, что помеха $\delta x_k = 0$, $k = 0, 1, 2, \dots$, а обобщенная помеха δv_k не коррелирует с входным сигналом x_k , $k = 0, 1, 2, \dots$

Представим вектор $\mathbf{f}_{y\delta\nu}$ в следующем виде:

$$\mathbf{f}_{y\delta\nu} = \begin{bmatrix} M_{k\delta}(y, \delta\nu_k) \\ M_{k\delta}(y, \delta\nu_k) \end{bmatrix} = \begin{bmatrix} \mathbf{f}_{y\delta\nu} \\ \Phi \end{bmatrix} = \mathbf{Q}\mathbf{f}_{y\delta\nu}. \quad (7.25)$$

Соотношение (7.25) получено в предположении, что

$$M_{k\delta}(y, \delta\nu_k) = 0,$$

поскольку априори x_k и $\delta\nu_k$, $k = 0, 1, 2, \dots$, не коррелируют между собой. Матрица

$$\mathbf{Q} = \begin{bmatrix} \mathbf{E}_n \\ \mathbf{0} \end{bmatrix}$$

имеет меркость $n \times (n + m)$, а \mathbf{E}_n – единичная матрица порядка n .

На основе (7.18), (7.19) и (7.21) можно записать:

$$\begin{aligned} \mathbf{a}_0 &= \mathbf{V}_{uu}^{-1} \mathbf{f}_{uy} = \mathbf{V}_{uu}^{-1} (\mathbf{V}_{uu} \mathbf{a} - \mathbf{f}_{y\delta\nu}) = \\ &= \mathbf{V}_{uu}^{-1} (\mathbf{V}_{uu} \mathbf{a} - \mathbf{Q}\mathbf{f}_{y\delta\nu}) = \mathbf{a} - \mathbf{V}_{uu}^{-1} \mathbf{Q}\mathbf{f}_{y\delta\nu}. \end{aligned}$$

В результате, если оценить вектор $\mathbf{f}_{y\delta\nu}$, то можно получить скомпенсированную оценку

$$\mathbf{a}_{0k} = \mathbf{a}_0 - \mathbf{V}_{uu}^{-1} \mathbf{Q}\mathbf{f}_{y\delta\nu}. \quad (7.26)$$

Введем в рассмотрение расширенный вектор

$$\mathbf{u}_k = [\mathbf{u}_k; \tilde{\mathbf{x}}_k], \quad \tilde{\mathbf{x}}_k = [x_{(k-m-1)}, x_{(k-m-2)}, \dots, x_{(k-m-n)}],$$

отличающейся от ранее используемого

$$\mathbf{u}_k = [\mathbf{y}_{uk}; \tilde{\mathbf{x}}_k] = [\mathbf{y}_{uk}; x_k, x_{(k-1)}, \dots, x_{(k-m)}].$$

И в результате определенных векторно-матричных преобразований получим

$$\mathbf{f}_{y\delta\nu} = \left(\mathbf{V}_{uu}^T \mathbf{V}_{uu}^{-1} \cdot \mathbf{Q} \right)^{-1} \left(\mathbf{V}_{uu}^T \mathbf{a}_0 - \mathbf{f}_{y\delta\nu} \right). \quad (7.27)$$

$$\begin{aligned} \mathbf{V}_{\alpha \beta} &= M_N \left(\mathbf{u}_0(K_0+k) \tilde{\mathbf{f}}_{\beta, \beta}^T(K_0+k) \right), \\ \tilde{\mathbf{f}}_{\beta, \beta} &= M_N \left(\tilde{\mathbf{u}}_0(K_0+k) \mathbf{v}_k \right), \quad N > K_0. \end{aligned} \quad (7.28)$$

Таким образом, последовательность вычислительных этапов ПКМНК имеет следующий порядок.

1. По выражениям (7.19), (7.28) при $k \in [1, N]$ вычисляем оценки

$$\mathbf{V}_{\alpha \beta}(N), \quad \mathbf{f}_{\alpha \beta}(N), \quad \mathbf{V}_{\alpha \alpha}(N), \quad \mathbf{f}_{\beta, \beta}(N).$$

2. Определяем МНК-оценку (7.22):

$$\mathbf{u}_0(N) = \mathbf{V}_{\alpha \alpha}^{-1}(N) \mathbf{f}_{\beta, \beta}(N).$$

3. Оцениваем неизмеримый вектор (7.27):

$$\mathbf{f}_{\beta, \beta}(N) = [\mathbf{V}_{\alpha \beta}^T(N) \mathbf{V}_{\alpha \alpha}^{-1}(N) Q]^{-1} [\mathbf{V}_{\alpha \beta}^T(N) \mathbf{u}_0(N) - \mathbf{f}_{\beta, \beta}(N)].$$

4. Вычисляем уточненную, скомпенсированную оценку (7.26):

$$\mathbf{u}_{\alpha \alpha}(N) = \mathbf{u}_0(N) - \mathbf{V}_{\alpha \alpha}^{-1}(N) Q \mathbf{f}_{\beta, \beta}(N).$$

ПКМНК характеризуется новым корректирующим параметром N .

7.1.2. ОБОБЩЕННЫЙ МНК

Стаится задача уменьшить (теоретически до нуля) уровень обобщенной помехи δu_k за счет ее «выделивания», которое заключается в том, что δu_k представляется в виде реакции дискретного формирующего фильтра на белый шум δv_k . Это позволяет выразить обобщенную помеху в виде произведения белого шума на ПФ фильтра, в результате чего излишняя корреляционная функция $\hat{R}_{\delta u_k \delta u_{k-1}}$ (искомое слагаемое правой части системы уравнений) в выражении (7.24) будет стремиться к нулю, поскольку белый шум не коррелирует ни с каким другим сигналом.

ПФ формирующего фильтра можно представить в виде авторегрессионной (АР) модели P -го порядка (рис. 7.3) и тогда

$$\delta v_k = [1/C(x)]\delta_{k_0},$$

$$\delta v_k + \sum_{j=1}^P c_j \delta v_{(k-P-j+j)} = \delta_{k_0},$$

$$k \in [K_2 + 1, K_2 + K_0].$$



Рис. 7.3

Фиксируя значения параметра k на интервале наблюдения, можно сформировать систему линейных алгебраических уравнений, которая в векторно-матричном виде записывается как

$$\delta v + \delta V c = \delta, \quad (7.29)$$

откуда

$$\delta v = -\delta V c + \delta. \quad (7.30)$$

Подставив (7.30) в алгебраическую систему (7.17), получим

$$U_v^T U_{v,v} = U_v^T y_v - U_v^T \delta V c + U_v^T \delta.$$

В этом выражении слагаемое $\frac{1}{K_0} U_v^T \delta$ представляет собой взаимную корреляционную функцию между $v_{k,k}$ и δ_k . В силу независимости δ_k

$$\frac{1}{K_0} U_v^T \delta = 0,$$

в результате

$$U_v^T U_{v,v} = U_v^T y_v - U_v^T \delta V c. \quad (7.31)$$

Из (7.31) можно найти искомый вектор c при условии, что будут известны δV и c .

Для оценивания матрицы δV и вектора c представим (7.29) как

$$\delta V c = -\delta v + \delta \quad (7.32)$$

и приведем (7.32) к виду

$$\delta V^T \delta V_C = -\delta V^T \delta v + \delta V^T \delta,$$

так

$$\frac{1}{K_0} \delta V^T \delta = 0,$$

и тогда

$$\delta V^T \delta V_C = -\delta V^T \delta v. \quad (7.33)$$

Из системы (7.33) можно определить вектор ε . Однако для этого предварительно оценивается обобщенная помеха δv , через МНК-оценку a_0 (7.22).

Таким образом, вычислительная схема ОМНК может быть представлена в следующем виде.

- 1) Выбираем порядок P формирующего фильтра в соответствии с рекомендациями $P \leq (0,3 \dots 0,5)K_0$.
- 2) Запускаем итерационную процедуру, на каждом r -м шаге повторяя:

1) определяем оценку обобщенной помехи

$$\delta v_{rj} = \sum_{j=1}^n a_{(r-1)j} u_{n(j-1)+j} - y_{nj}, \quad j \in [K_0 + 1, K_0 + K_0],$$

где в качестве начальных условий a_{0j} , $j \in [1, n]$, используются грубые МНК-оценки, найденные обычным МНК (7.22);

2) из системы

$$\delta V_r^T \delta V_C = -\delta V_r^T \delta v_r$$

вычисляем оценку вектора ε_r ;

3) находим оценку a_r вектора a путем решения системы

$$U_r^T U_r a_r = U_r^T y_n - U_r^T \delta V_r \varepsilon_r;$$

4) вычисляем норму

$$\left\| \mathbf{a}_r - \mathbf{a}_{(r-1)} \right\|$$

и выносим решение о прекращении или продолжении итерационной процедуры (в случае сходимости алгоритма имеем $\| \mathbf{a}_r - \mathbf{a}_{(r-1)} \| \rightarrow 0$ при $r \rightarrow \infty$).

Сходимость ОМНК в значительной мере определяется порядком R формирующего фильтра, который является основным корректирующим параметром ОМНК, однако никаких конкретных рекомендаций по выбору этого параметра нет, поэтому может возникнуть проблема сходимости алгоритма.

7.1.3. РЕКУРРЕНТНЫЙ МНК

В данном случае для уменьшения влияния измеренного вектора (7.20) системы (7.18) необходимо увеличивать количество формируемых уравнений. Такие возможности реально существуют, поскольку алгебраическая система (7.18) формируется на интервале $k \in [K_0 + 1, K_0 + K_0]$, а длина интервала $(K_0 + K_0)$ существенно меньше длины интервала наблюдения K_f . Другими словами, часть априорной информации (измеренные x_k и y_k , $k \in [1, K_f]$) не используется. Можно формировать системы уравнений последовательно на интервалах $k \in [K_0 + 1, K_0 + K_0 + 1]$, $k \in [K_0 + 1, K_0 + K_0 + 2]$ и далее, или в общем случае на $k \in [K_0 + 1, K_0 + K_0 + r]$, $r \in [1, R]$. Однако формирование R систем уравнений требует R обращений матриц сформированных систем, мероность которых увеличивается по мере возрастания r , а это приводит к существенному повышению вычислительных затрат. В результате была предложена рекуррентная процедура вычисления обратной матрицы – РМНК параметрической идентификации.

Решение алгебраической системы обычным МНК записем как

$$\mathbf{a}_n = \mathbf{U}_n^{-1} \mathbf{y}_n = \mathbf{B}_n \mathbf{u}_n, \quad \mathbf{B}_n = \mathbf{U}_n^{-1}.$$

И тогда числовую реализацию РМНК можно постепенно представить в следующем виде.

1. Зададим начальные условия

$$\mathbf{u}_{01} = \Phi, \quad \mathbf{D}_{01} = \mu \mathbf{E}, \quad \mu \geq 10^6. \quad (7.34)$$

2. Выполним K -шаговую итерационную процедуру, на каждом r -м шаге которой ($r = 2, 3, 4, \dots, K$) вычислим:

- 1) оценку обратной матрицы

$$\mathbf{D}_{nr} = \mathbf{D}_{n(r-1)} - \frac{\mathbf{D}_{n(r-1)} \mathbf{u}_{nr} \mathbf{u}_{nr}^T \mathbf{D}_{n(r-1)}}{1 + \mathbf{u}_{nr}^T \mathbf{D}_{n(r-1)} \mathbf{u}_{nr}}; \quad (7.35)$$

- 2) оценку вектора исходных параметров

$$\mathbf{a}_{0r} = \mathbf{a}_{0(r-1)} + \varepsilon_r \mathbf{D}_{nr} \mathbf{u}_{nr}. \quad (7.36)$$

При

$$\varepsilon_r = \mathbf{u}_{nr} - \mathbf{u}_{nr}^T \mathbf{a}_{0(r-1)},$$

если рекуррентный алгоритм сходится, то при $r \rightarrow \infty$ получим $\mathbf{a}_{0r} \rightarrow \mathbf{a}$.

Приведенный выше РМНК называют классическим алгоритмом. Чаще на практике используются РМНК со «затягиванием», опирающийся на вычисление матрицы \mathbf{D}_{nr} , а именно:

$$\mathbf{D}_{nr} = \mathbf{D}_{n(r-1)} - \frac{\mathbf{D}_{n(r-1)} \mathbf{u}_{nr} \mathbf{u}_{nr}^T \mathbf{D}_{n(r-1)}}{\gamma + \mathbf{u}_{nr}^T \mathbf{D}_{n(r-1)} \mathbf{u}_{nr}}, \quad (7.37)$$

где входит дополнительный параметр $\gamma \leq 1$, характеризующий степень «затягивания» старой информации (при $\gamma = 1$ вся информация используется полностью).

Новые корректирующие параметры РМНК: μ , K , γ , причем в отличие от μ и γ существует проблема выбора параметра K .

7.2.4. АЛГОРИТМ КАЧМАЖА

Здесь, как и в РМНК, используется итерационная процедура определения идентифицируемых параметров. Суть АК в следующем. Задается начальное значение оценки вектора параметров. Обычно

$$\mathbf{a}_{(0)} = \mathbf{0}, \quad (7.38)$$

и далее производится итерационная процедура уточнения, на каждом r -м шаге которой ($r \in [1, R]$) возникает F -е уравнение

$$\mathbf{u}_{\alpha(K_s+r)}^T \mathbf{B} = Y_{\alpha}(K_s+r) + \delta v(K_s+r), \quad (7.39)$$

минимизируется функционал

$$J_F = 0.5 \delta v_{(K_s+r)}^2 = 0.5 \left[\mathbf{u}_{\alpha(K_s+r)}^T \mathbf{B} - Y_{\alpha}(K_s+r) \right]^2,$$

в результате чего вычисляется F -я оценка $\mathbf{a}_{(r)}$ вектора \mathbf{a} в виде

$$\mathbf{a}_{(r)} = \mathbf{a}_{(r-1)} + K \frac{Y_{\alpha}(K_s+r) - \mathbf{u}_{\alpha(K_s+r)}^T \mathbf{B}_{(r-1)}}{\mathbf{u}_{\alpha(K_s+r)}^T \mathbf{B}_{(K_s+r)}} \mathbf{u}_{\alpha(K_s+r)}, \quad (7.40)$$

где $0 < K \leq 2$.

Выражение (7.40) называют классическим АК. На практике чаще используются алгоритм Качмажа–Чадевата (АКЧ)

$$\mathbf{a}_{(r)} = \mathbf{a}_{(r-1)} + K \frac{Y_{\alpha}(K_s+r) - \mathbf{u}_{\alpha(K_s+r)}^T \mathbf{B}_{(r-1)}}{1 + \mathbf{u}_{\alpha(K_s+r)}^T \mathbf{B}_{(K_s+r)}} \mathbf{u}_{\alpha(K_s+r)}, \quad (7.41)$$

где параметр $0 \leq K \leq 1$ вводится для улучшения помехоустойчивости алгоритма.

7.2.5. МЕТОД ИНСТРУМЕНТАЛЬНОЙ ПЕРЕМЕННОЙ В МИП сформированные в МНК алгебраическая система

$$U_s \alpha = y_s + \delta v$$

преобразуется к виду

$$\frac{1}{K_0} Q_s^T U_s \alpha = \frac{1}{K_0} Q_s^T y_s + \frac{1}{K_0} Q_s^T \delta v. \quad (7.42)$$

Матрица

$$Q_s = \left[q_{s(K_0+1)}^T, q_{s(K_0+2)}^T, \dots, q_{s(K_0+K_0)}^T \right]$$

формируется из отсчетов реализации функции $q_{s(j)}$, которая называется инструментальной переменной и должна удовлетворять двум требованиям:

- 1) сильно коррелировать с элементами вектора $\alpha_{s(j)}$, что обеспечивает невырожденность матрицы $Q_s^T U_s$;
- 2) не коррелировать с обобщенной помехой δv_k , что при больших K_0 приведет к выполнению условия

$$\frac{1}{K_0} Q_s^T \delta v \approx 0.$$

Выполнение этих требований создает проблему выбора вида инструментальной переменной. Рассмотрим два подхода к выбору инструментальной переменной при условии, что помеха $\delta v(t) = 0$.

В линейной статике инструментальная переменная выбирается в виде

$$y_{s(k)} = F_{s(k+r)},$$

причем сдвиг r должен быть таким, чтобы сигнал $y_{s(k+r)}$ не коррелировал с обобщенной помехой δv_k . Однако никаких рекомендаций по выбору параметра r не дается.

Экспериментальные исследования с различными объектами идентификации показали следующие факты. Взаимная корреляционная

функция $R_{q_{\text{exp}}}$ близка к аутокорреляционной ($R_{q_{\text{exp}}, k=0} \approx 0.9$ при $k=0$), и это практически означает выполнение первого требования, а взаимная корреляционная функция $R_{q_{\text{exp}}, \delta \tau, k} \approx 0.2$ при $k=0, 1, 2, \dots$, что свидетельствует о наличии корреляции инструментальной переменной с обобщенной помехой.

В методе линейного фильтра инструментальная переменная вычисляется посредством итерационной процедуры, на каждом r -м шаге которой

$$\varphi_{q, L, r} = W_r(z) \{x_k\},$$

а $W_r(z)$ есть оценка ПФ идентифицируемого объекта с параметрами $a_{q/r}$, $j \in [1, n]$. При $r=0$ в качестве начальных условий используются МНК-оценки $a_{q/0}$, полученные обычным МНК.

Модельные исследования метода линейного фильтра показывают неизменность уменьшения степени корреляции инструментальной переменной как с сигналом $y_{q,0}$, так и с обобщенной помехой δq_0 , и в этом смысле метод линейного фильтра обладает превосходством по сравнению с методом сдвига. Однако сходимость итерационной процедуры метода линейного фильтра не доказана и уменьшение ошибки идентификации от влияния искажений вектора обобщенной помехи имеет случайный характер при изменении количества итераций.

8. САМОНАСТРАИВАЮЩИЕСЯ МОДЕЛИ

8.1. ГРАДИЕНТНЫЕ САМОНАСТРАИВАЮЩИЕСЯ МОДЕЛИ

Структурная схема системы идентификации с градиентной самонастраивющейся моделью (ГСМ) приведена на рис. 8.1.



Рис. 8.1

Алгоритм предполагается, что существует

$$\alpha_{oi}^{(1)}(t) = -K_i \frac{\partial J(e(t))}{\partial \alpha_{oi}(t)}, \quad i \in [1, n], \quad K_i > 0, \quad (8.1)$$

где J – выбираемый критерий настройки модели по параметрам $\alpha_{oi}(t)$.

Если предположение (8.1) выполняется, то алгоритмы идентификации (подстройки параметров модели к параметрам объекта) имеют вид

$$\alpha_{oi}(t) = \alpha_{oi}(0) - K_i \int_0^t \frac{\partial J(e(\tau))}{\partial \alpha_{oi}(\tau)} d\tau, \quad i \in [1, n], \quad (8.2)$$

где $\alpha_{oi}(0), i \in [1, n]$ – задаваемые начальные условия параметров модели.

В качестве иллюстрации функционирования ГСМ рассмотрим пример.

Пусть идентифицируемый объект описывается уравнением

$$\sum_{i=1}^n a_i y^{(i-1)}(t) = x(t).$$

Дифференциальное уравнение модели

$$\sum_{i=1}^n a_{oi}(t) y_m^{(i-1)}(t) = x(t).$$

Критерий настройки параметров модели к параметрам объекта выберем в виде

$$J\{a(t) = y(t) - y_m(t)\} = \frac{1}{2} \int_{t=T}^T e^2(\tau) d\tau.$$

Тогда в предположении, что на интервале длительностью T (этапе подстройки параметров модели)

$$a_{oi}(t) = \text{const}, \quad i \in [1, n],$$

можно записать

$$\frac{\partial J}{\partial a_{oi}} = \int_{t=T}^T e(\tau) (-u_i(\tau)) d\tau,$$

где

$$u_i(\tau) = \frac{\partial y_m(\tau)}{\partial a_{oi}(\tau)}, \quad i \in [1, n],$$

называются функциями чувствительности модели по ее параметрам и представляют собой решение дифференциального уравнения чувствительности

$$\sum_{j=1}^n a_{oj}(t) u_i^{(j-1)}(t) = -y_m^{(i-1)}(t), \quad i \in [1, n].$$

с пустыми начальными условиями

$$a_j^{(j-1)}(0) = 0, \quad j \in [1, n-1].$$

При этом алгоритм идентификации (8.2) принимает вид

$$a_{\omega}(t) = a_{\omega}(0) + K_1 \int_{0-T}^T \int_{\xi} \sigma(\xi) u_i(\xi) d\xi dt, \quad i \in [1, n],$$

Корректирующими параметрами алгоритма являются время усреднения T , коэффициенты K_i , $i \in [1, n]$, корректирующие динамику системы, начальные условия $a_{\omega}(0)$, $i \in [1, n]$.

Начальные условия следует выбирать из физических соображений при оценивании параметров объекта в каждом конкретном случае.

Что касается коэффициентов K_i , $i \in [1, n]$, то они представляют собой искаженный аналог коэффициентов усиления систем управления и в общем случае их можно положить равными единице.

К параметру T предъявляются противоречивые требования, что создает проблему его выбора. С одной стороны необходимо выполнять условие $a_{\omega}(t) \approx \text{const}$, $i \in [1, n]$, на интервале T и с этой точки зрения длительность T следует уменьшать. Чем меньше T , тем меньше ошибка фиксации единок модели на этом интервале. С другой стороны, интегральный оператор на интервале интегрирования $[0, T]$ склоняется (усредняет) помехи, искающиеся сигналы при их измерении. Поэтому каких-то конкретных рекомендаций по выбору параметра T нет.

Достоинство ГСМ в том, что это система замкнутого типа и если выходной сигнал $y(t)$ объекта искающей центрированной и не коррелирующей с $y(t)$ помехой $b(t)$, то ее наличие не приводит к смещению оценок $a_{\omega}(t)$, $i \in [1, n]$.

Недостатки ГСМ

1. ГСМ описываются системой линейных, нестационарных, интегро-дифференциальных уравнений, заданных в явном виде, и потому не представляется возможным пропустить необходимый теоретический анализ не только точности и быстродействия, но даже устойчивости.

2. Как правило, критерий настройки J – не унимодальные и потому связность параметров модели $a_{\omega}(t)$ к параметрам объекта a_i .

$i \in [1, n]$, будет иметь место, если начальные условия $a_{ij}(0)$, $i \in [1, n]$, достаточно близки к параметрам объекта a_i , $i \in [1, n]$, а это связано с необходимостью дополнительной априорной информации.

3. Функции чувствительности $n_j(t)$ являются функциональными производными, и их определение через модели чувствительности справедливо только при очень медленном изменении параметров модели $a_{ij}(t)$, $i \in [1, n]$. Поэтому ГСМ имеют принципиально иное быстродействие.

4. ГСМ характеризуются сильной взаимной связью между каналами идентификации. Поэтому с увеличением количества и подстранных параметров быстродействие резко падает.

8.2. НЕГРАДИЕНТНЫЕ САМОНАСТРАНСВАЮЩИЕСЯ МОДЕЛИ

Структурная схема системы идентификации с неградиентной самонастраивающейся моделью (НГСМ) показана на рис. 8.2.

Пусть объект описывается уравнением

$$y^{(n)}(t) + \sum_{i=1}^n a_i y^{(i-1)}(t) = \sum_{j=1}^m b_j x^{(j-1)}(t). \quad (8.3)$$

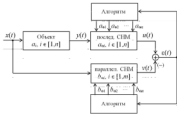


Рис. 8.2

Последовательная модель имеет вид

$$u^{(s)}(t) + \sum_{j=1}^n c_j u^{(j-1)}(t) = y^{(s)}(t) + \sum_{j=1}^m a_{sj}(t) y^{(j-1)}(t), \quad (8.4)$$

а параллельная –

$$v^{(s)}(t) + \sum_{j=1}^n c_j v^{(j-1)}(t) = \sum_{j=1}^m b_{sj}(t) u^{(j-1)}(t). \quad (8.5)$$

Коэффициенты $c_j > 0$, $j \in [1, n]$, последовательной и параллельной моделей задаются априори из условий их устойчивости, а при необходимости из дополнительных условий, например, обеспечения требуемой полосы пропускания параллельной модели для стягивания полосы $\text{det}(t)$.

Если внести в рассмотрение рассогласование

$$\alpha(t) = u(t) - v(t),$$

ошибку по параметрам последовательной модели

$$e_{a_j}(t) = a_j - a_{sj}(t), \quad j \in [1, n],$$

ошибку по параметрам параллельной модели

$$e_{b_j}(t) = b_j - b_{sj}(t), \quad j \in [1, m],$$

то динамику НГСМ можно будет описать системой дифференциальных уравнений

$$\begin{cases} e_{a_j}^{(1)} = f_{a_j}[e_{a_j}, e_{b_j}], \quad j \in [1, n], \\ e_{b_j}^{(1)} = f_{b_j}[e_{a_j}, e_{b_j}], \quad j \in [1, m]. \end{cases}$$

Алгоритм идентификации синтезируется из условий устойчивости

$$\lim_{t \rightarrow \infty} e_{a_j}(t) = 0 \quad \text{и} \quad \lim_{t \rightarrow \infty} e_{b_j}(t) = 0,$$

и в качестве критерия устойчивости можно использовать, например, второй метод Ляпунова или метод гиперустойчивости Попова.

При использовании второго метода Липунова выбирается функция Липунова, например, в виде

$$V(t) = \frac{1}{2} \left[\sum_{j=1}^n K_{a_j} e_{a_j}^2(t) + \sum_{j=1}^m K_{b_j} e_{b_j}^2(t) \right] > 0, \quad (8.6)$$

где K_{a_j} и K_{b_j} определяют скорость сходимости алгоритма и задаются из условия коррекции динамики системы идентификации, причем $K_{a_j} > 0$, $j \in [1, n]$, $K_{b_j} > 0$, $j \in [1, m]$, и в частности их можно положить равными единице.

Согласно критерию Липунова устойчивость будет иметь место, если

$$W(t) = \frac{dV(t)}{dt} < 0. \quad (8.7)$$

Определим вспомогательную функцию $q(t)$, которая получается при почленном вычитании уравнения (8.5) из уравнения (8.4):

$$\begin{aligned} q(t) &= e^{(a)}(t) + \sum_{j=1}^n c_j e^{(j-1)}(t) = \\ &= y^{(a)}(t) + \sum_{j=1}^n a_{aj}(t) y^{(j-1)}(t) - \sum_{j=1}^m b_{bj}(t) x^{(j-1)}(t). \end{aligned}$$

В полученном выражении заменим

$$a_{aj}(t) = a_j - e_{a_j}(t), \quad b_{bj}(t) = b_j - e_{b_j}(t)$$

и после несложных преобразований получим

$$q(t) = - \sum_{j=1}^n c_{aj}(t) y^{(j-1)}(t) + \sum_{j=1}^m c_{bj}(t) x^{(j-1)}(t). \quad (8.8)$$

Теперь условие устойчивости (8.7) представим в виде

$$W(t) = \frac{dV(t)}{dt} < -q^2(t). \quad (8.9)$$

Определим

$$\frac{d^j V(t)}{dt^j} = \sum_{i=1}^n K_{a_i} c_{a_i}(t) v_{a_i}^{(j)}(t) + \sum_{j=1}^m K_{b_j} c_{b_j}(t) v_{b_j}^{(j)}(t) \quad (8.10)$$

и

$$-q^{(j)}(t) = \sum_{i=1}^n c_{a_i}(t) y^{(i-1)}(t) q(t) - \sum_{j=1}^m c_{b_j}(t) x^{(j-1)}(t) q(t). \quad (8.11)$$

Согласно (8.9) приведены и левой и правой части выражений (8.10) и (8.11) слагаемые при одинаковых ошибках $c_{a_i}(t)$ и $c_{b_j}(t)$. Получим

$$c_{a_i}^{(1)}(t) = \frac{1}{K_{a_i}} y^{(i-1)}(t) q(t), \quad i \in [1, n],$$

$$c_{b_j}^{(1)}(t) = -\frac{1}{K_{b_j}} x^{(j-1)}(t) q(t), \quad j \in [1, m],$$

откуда, имея в виду, что

$$c_{a_i}(t) = a_i - a_{oi}(t), \quad i \in [1, n], \quad \text{и} \quad c_{b_j}(t) = b_j - b_{oj}(t), \quad j \in [1, m],$$

и следовательно,

$$a_{oi}^{(1)}(t) = [a_i - c_{a_i}(t)]^{(1)} = -c_{a_i}^{(1)}(t), \quad i \in [1, n],$$

$$b_{oj}^{(1)}(t) = [b_j - c_{b_j}(t)]^{(1)} = -c_{b_j}^{(1)}(t), \quad j \in [1, m],$$

получим алгоритмы идентификации:

$$a_{oi}(t) = a_{oi}(0) - \frac{1}{K_{a_i}} \int_0^t y^{(i-1)}(\tau) q(\tau) d\tau, \quad i \in [1, n],$$

$$b_{oj}(t) = b_{oj}(0) + \frac{1}{K_{b_j}} \int_0^t x^{(j-1)}(\tau) q(\tau) d\tau, \quad j \in [1, m].$$

Функцию $\varphi(t)$ можно определить выражением

$$\varphi(t) = e^{(t-\tau)}(t) + \sum_{i=0}^n c_i e^{(t-i\tau)}(t).$$

Достоинством НГСМ является гарантия сходимости коэффициентов $a_m(t)$, $b_m(t)$ к параметрам a_0 , b_0 объекта при любых начальных условиях в отсутствие помех.

Недостатки

1. НГСМ описываются системой нелинейных, нестационарных, дифференциальных уравнений, заданных в явной форме, поэтому невозможно провести теоретический анализ точности и быстродействия алгоритма.
2. В алгоритмы идентификации входят все производные входного и выходного сигналов объекта. Возникает необходимость их измерения.
3. Решение модельных задач иллюстрирует низкое быстродействие НГСМ, которое с увеличением n или τ резко падает.
4. Отсутствует сплаживание высокочастотных составляющих помехи $\bar{u}(t)$ из-за одинаковых порядков ядерной и правой части уравнения последовательной модели.

9. ОЦЕНИВАНИЕ РАСШИРЕННОГО ВЕКТОРА СОСТОЯНИЯ НЕЛИНЕЙНЫХ СТАЦИОНАРНЫХ ОБЪЕКТОВ

Пусть объект описывается нелинейной системой дифференциальных уравнений

$$\begin{cases} \dot{\mathbf{y}}^{(1)}(t) = \mathbf{f}(\mathbf{y}(t), \mathbf{a}, x(t)), \\ \mathbf{y}(0) = \mathbf{y}_0, \quad t \in [0, T], \end{cases} \quad (9.1)$$

где

$$\begin{aligned} \mathbf{y}(t) &= [\gamma_i(t), \quad i \in [1, m]], \\ \mathbf{a} &= [a_i, \quad i \in [1, n]], \\ \mathbf{f} &= [f_i, \quad i \in [1, m]]. \end{aligned}$$

Входной $x(t)$ и выходной $y(t) = y_1(t)$ сигналы измеряются на интервале наблюдения $t \in [0, T]$. Для записи расширенного вектора состояния проделаем некоторые преобразования.

Переведем исходные параметры a_i , $i \in [1, n]$, в разряд переменных состояния объекта и дополним систему (9.1) новой системой дифференциальных уравнений, которая имеет вид

$$\begin{cases} \dot{\mathbf{a}}^{(1)}(t) = \mathbf{0}, \\ \mathbf{a}(0) = \mathbf{a}. \end{cases} \quad (9.2)$$

Затем введем обозначения:

$$\gamma_i(t) = \begin{cases} y_i(t), & i \in [1, m], \\ s_{i(m+1)}, & i \in [m+1, m+n], \end{cases} \quad S_t = \begin{cases} f_i, & i \in [1, m], \\ 0, & i \in [m+1, m+n]. \end{cases}$$

При этом

$$\mathbf{v}(t) = [v_i(t), i \in [1, m+n]], \quad \mathbf{g} = [g_i, i \in [1, m+n]].$$

В результате система линейных дифференциальных уравнений относительно расширенного вектора состояния объекта $\mathbf{v}(t)$, описывающая системы (9.1) и (9.2), может быть представлена в виде

$$\begin{cases} \mathbf{v}^{(1)}(t) = \mathbf{g}[\mathbf{v}(t), t], \\ \mathbf{v}(0) = \mathbf{v}_0. \end{cases} \quad (9.3)$$

Решение системы (9.3) можно отыскать, например, методом квазилинеаризации или инвариантного погружения. Рассмотрим первый из них.

Метод квазилинеаризации представляет собой итерационную процедуру, на каждом r -м шаге которой ($r=1, 2, 3, \dots$) вычисляется r -я оценка $\mathbf{v}_r(t)$ вектора $\mathbf{v}(t)$ посредством решения некоторой системы линейных алгебраических уравнений. Эта система получается при аппроксимации функции $\mathbf{g}[\mathbf{v}(t), t]$ рядом Тейлора в окрестности $\mathbf{v}(t)$. Полагая $\mathbf{v}(t) = \mathbf{v}_r(t)$ и учитывая только линейную часть ряда Тейлора, можно перейти от квазилинейной дифференциальной системы (9.3) к линеаризованной системе алгебраических уравнений вида

$$\begin{aligned} \mathbf{v}_r^{(1)}(t) &= \mathbf{G}_{(r-1)}(t)\mathbf{v}_r(t) + \\ &+ \mathbf{g}[\mathbf{v}_{(r-1)}(t), t] - \mathbf{G}_{(r-1)}(t)\mathbf{v}_{(r-1)}(t), \end{aligned} \quad (9.4)$$

где

$$\mathbf{G}_{(r-1)}(t) = \left[\frac{\partial \mathbf{g}_i}{\partial \mathbf{v}_j}, \quad i, j \in [1, m+n] \right]_{i=j=r-1}, \quad (9.5)$$

Формально решение системы (9.4) может быть представлено как

$$\mathbf{v}_r(t) = \mathbf{V}_{(r-1)}(t)\mathbf{v}_r(0) + \mathbf{p}_{(r-1)}(t), \quad (9.6)$$

где матрица $\mathbf{V}_{(r-1)}(t)$ является решением однородной матричной системы дифференциальных уравнений

$$\begin{cases} \mathbf{V}_{(r-1)}^{(1)} = \mathbf{G}_{(r-1)}(t) \mathbf{V}_{(r-1)}(t), \\ \mathbf{V}_{(r-1)}^{(0)} = \mathbf{E}, \end{cases} \quad (9.7)$$

а вектор $\mathbf{p}_{(r-1)}(t)$ представляет собой решение неоднородной дифференциальной системы

$$\begin{cases} \mathbf{p}_{(r-1)}^{(1)}(t) = \mathbf{G}_{(r-1)}(t) \mathbf{p}_{(r-1)}(t) + \mathbf{g}[\mathbf{v}_{(r-1)}(t), t] - \mathbf{G}_{(r-1)}(t) \mathbf{v}_{(r-1)}(t), \\ \mathbf{p}_{(r-1)}^{(0)} = \mathbf{0}. \end{cases} \quad (9.8)$$

Предполагаем, что метод квазилинейизации сходится, т. е. имеет место

$$\lim_{r \rightarrow \infty} \mathbf{v}_r(t) = \mathbf{v}(t).$$

Тогда при $r = \infty$ будем иметь

$$a_i = v_{(m+i)}(0) = v_{\infty(m+i)}, \quad i \in [1, n],$$

а при $r = R$ (R – количество итераций)

$$a_i = v_{R(m+i)}(0), \quad i \in [1, n].$$

Прототип метода квазилинейизации выглядит следующим образом.

На основании некоторых физических соображений задается начальное условие – оценка вектора $v_0(t)$, а затем организуется итерационная процедура, на каждом r -м, $r \in [1, R]$, шаге которой выполняется ряд операций:

- 1) формируется матрица $\mathbf{G}_{(r-1)}$ видя (9.5), элементы которой вычисляются как $\partial g_i / \partial v_j$, $i, j \in [1, m+n]$, путем решения уравнения чувствительности;
- 2) определяется матрица $\mathbf{V}_{(r-1)}(t)$ посредством решения однородной дифференциальной системы (9.7), мерность которой $(m+n) \times m(m+n)$;

3) вычисляется вектор $\mathbf{v}_{(r-1)}(t)$, представляющий собой решение $(m+n)$ -мерной неоднородной системы дифференциальных уравнений (9.8);

4) определяется оценка $\mathbf{v}_r(0)$ и вектора $\mathbf{v}(0)$;

5) вычисляется оценка $\mathbf{v}_r(t)$ по выражению (9.6);

6) вычисляется функционал

$$\Delta v_r = \| \mathbf{v}_r(t) - \mathbf{v}_{(r-1)}(t) \|, \quad t \in [0, T],$$

например, вида

$$\Delta v_r = \frac{1}{m+n} \sum_{j=1}^{m+n} \sqrt{\int_0^T [\mathbf{v}_{rj}(t) - \mathbf{v}_{(r-1)j}(t)]^2 dt / \int_0^T v_{rj}^2(t) dt};$$

7) производится сравнение вычисленного значения Δv_r с наперед задаваемой величиной δv и выносится соответствующее решение:

- при $\Delta v_r > \delta v$ осуществляется переход на следующий $(r+1)$ -й шаг;
- при $\Delta v_r \leq \delta v$ производится останов итерационной процедуры и принимается

$$R = r,$$

$$\hat{\mathbf{v}}_j = v_{R(m+1)}(0), \quad j \in [1, n],$$

$$\hat{y}_j(t) = v_{Rj}, \quad t \in [0, m].$$

В заключение следует отметить, что оценка $\mathbf{v}_r(0)$ начальных условий $\mathbf{v}(0)$ (см. п. 4) находится на основе первого уравнения системы (9.4), которое в развернутом виде выглядит как

$$v_{r1}(t) = y_r(t) = \sum_{j=1}^{m+n} v_{(r-1)j}(t) v_{rj}(0) + p_{(r-1)j}(t)$$

и представляет собой r -ю оценку выходного сигнала объекта. Причем, поскольку $v_{rj}(0), j \in [1, m]$, задаются априори ($v_{rj}(0) = y_{rj}, j \in [1, m]$), необходимо отыскать только n начальных условий $v_{rj}(0)$,

$j \in [m+1, m+n]$. Этую задачу можно решить из условия минимизации функционала

$$J = \int_0^T \|y(t) - y_{r,j}(t)\|^2 dt = \int_0^T \left[y(t) - \sum_{j=1}^{m+n} v_{(r-1)j}(t) v_{r,j}(0) - p_{(r-1)j}(t) \right]^2 dt$$

путем исследования его на экстремум, а именно

$$\frac{\partial J}{\partial v_{r,j}(0)} = 0, \quad j \in [m+1, m+n].$$

В результате приходим к необходимости решать систему n линейных алгебраических уравнений

$$\begin{aligned} & \sum_{j=1}^{m+n} \int_0^T v_{(r-1)j}(t) v_{(r-1)j}(t) dv_{r,j}(0) = \\ & = \int_0^T \left[y(t) - \sum_{j=1}^m v_{(r-1)j}(t) v_{r,j}(0) - p_{(r-1)j}(t) \right] v_{(r-1)j}(t) dt, \quad i \in [m+1, m+n]. \end{aligned}$$

Метод квазилинейизации параллельно с оцениванием параметров позволяет оценять при необходимости и вектор состояния линейного объекта, а в ряде случаев дополнительные и некоторые характеристики, что является достоинством метода.

Однако в общем случае сходимость метода квазилинейизации не доказана. В результате оценивание расширенного вектора состояния существенно зависит от начальных условий. Исследования показывают, что если начальные условия выбраны достаточно близко, то алгоритм сходится. Кроме того, реализация метода предполагает существенные вычислительные затраты, связанные с формированием и решением обширных систем уравнений, что также негативно характеризует метод линеаризации.

Рассмотрим пример. Объект описывается линейным (для простоты понимания) дифференциальным уравнением

$$y^{(2)}(t) + a_2 y^{(1)}(t) + a_3 y(t) = a_1 x(t),$$

$$y(0) = y_{00}, \quad y^{(1)}(0) = y_{10}.$$

Эквивалентная система уравнений вида (9.1) с учетом обозначения $y_1(t) = y(t)$ записывается в форме

$$\begin{cases} y_1^{(1)}(t) = y_2(t), \\ y_2^{(1)}(t) = -\sigma_2 y_1(t) - \sigma_3 y_2(t) + a_0 x(t), \end{cases}$$

а система (9.2) выражается выражением

$$\begin{cases} a_1^{(1)}(t) = 0, \\ a_2^{(1)}(t) = 0, \\ a_3^{(1)}(t) = 0. \end{cases}$$

Введя обозначения

$$\begin{cases} v_1(t) = y_1(t) = y(t), \\ v_2(t) = y_2(t), \\ v_3(t) = a_1, \\ v_4(t) = a_2, \\ v_5(t) = a_3, \end{cases}$$

представим систему (9.3) в виде

$$\begin{cases} v_1^{(1)}(t) = g_1 = v_2(t), \\ v_2^{(1)}(t) = g_2 = -v_4(t)v_1(t) - v_5(t)v_2(t) + v_3(t)x(t), \\ v_3^{(1)}(t) = g_3 = 0, \\ v_4^{(1)}(t) = g_4 = 0, \\ v_5^{(1)}(t) = g_5 = 0, \\ \\ \begin{cases} v_1(0) = y_{00}, \\ v_2(0) = y_{02}. \end{cases} \end{cases}$$

$$\psi^{(1)}(t) = g[\psi(t), t],$$

$$\psi(0) = \psi_0.$$

Решение этой линейной системы в соответствии с (9.6) (система уравнений (9.4) исключена) будет

$$\psi_r(t) = V_{(r-1)}(t)\psi_r(0).$$

Для определения матрицы $V_{(r-1)}(0)$ необходимо решить систему (9.7), а это в свою очередь требует формирования матрицы $G_{(r-1)}(t)$ согласно (9.5)

$$G_{(r-1)}(t) =$$

$$= \begin{vmatrix} 0 & 1 & \frac{\partial y^{(1)}}{\partial a_1} & \frac{\partial y^{(1)}}{\partial a_2} & \frac{\partial y^{(1)}}{\partial a_3} \\ -a_1 - a_3 - a_2 \frac{\partial y}{\partial a_1} - a_2 \frac{\partial y^{(1)}}{\partial a_1} + x(t) - y(t) - a_2 \frac{\partial y}{\partial a_2} - a_3 \frac{\partial y^{(1)}}{\partial a_2} - a_2 \frac{\partial y}{\partial a_3} - y^{(1)}(t) - a_3 \frac{\partial y^{(1)}}{\partial a_3} & 0 & 0 & 0 & 0 \\ 0 & 0 & 0 & 0 & 0 \\ 0 & 0 & 0 & 0 & 0 \\ 0 & 0 & 0 & 0 & 0 \end{vmatrix}$$

$$y(t) = y_{(r-1)}(t), \quad y^{(1)}(t) = y_{(r-1)}^{(1)}(t),$$

$$a_1 = a_{(r-1)}(t), \quad a_2 = a_{(r-1)(2)}(t), \quad a_3 = a_{(r-1)(3)}(t).$$

Уравнения чувствительности:

$$1) \quad u_1^{(1)}(t) + a_2 u_1^{(1)}(t) + a_3 a_1(t) = x(t) \quad \text{при}$$

$$a_2 = a_{(r-2)(1)}(0), \quad a_3 = a_{(r-2)(2)}(0);$$

$$2) \quad u_2^{(1)}(t) + a_3 u_2^{(1)}(t) + a_2 a_2(t) = -y(t) \quad \text{при}$$

$$a_2 = a_{(r-2)(1)}(0), \quad a_3 = a_{(r-2)(2)}(0), \quad y(t) = y_{(r-1)}(t);$$

$$3) \quad u_j^{(2)}(t) + a_3 u_j^{(1)}(t) + a_2 v_j(t) = -y^{(1)}(t) \quad \text{mpm}$$

$$a_2 = a_{(r-2)}(0), \quad a_3 = a_{(r-3)}(0), \quad y^{(2)}(t) = y_{(r-1)}^{(1)}(t).$$

$$\begin{vmatrix} v_{11}^{(1)} & v_{12}^{(1)} & v_{13}^{(1)} & v_{14}^{(1)} & v_{15}^{(1)} \\ v_{21}^{(1)} & v_{22}^{(1)} & v_{23}^{(1)} & v_{24}^{(1)} & v_{25}^{(1)} \\ v_{31}^{(1)} & v_{32}^{(1)} & v_{33}^{(1)} & v_{34}^{(1)} & v_{35}^{(1)} \\ v_{41}^{(1)} & v_{42}^{(1)} & v_{43}^{(1)} & v_{44}^{(1)} & v_{45}^{(1)} \\ v_{51}^{(1)} & v_{52}^{(1)} & v_{53}^{(1)} & v_{54}^{(1)} & v_{55}^{(1)} \end{vmatrix} =$$

$$\mathbf{V}_{(r-1)}^{(1)}(t)$$

$$= \begin{vmatrix} \Phi & 1 & u_1^{(1)} & u_2^{(1)} & u_3^{(1)} \\ -\delta_1 & -\delta_1 & -\delta_2 u_1 - a_1 u_1^{(1)} + x & -\delta_3 u_1 - a_1 u_2^{(1)} - y & -\delta_2 u_3 - a_1 u_3^{(1)} - y^{(1)} \\ \Phi & 0 & \Phi & 0 & 0 \\ \Phi & 0 & \Phi & 0 & 0 \\ \Phi & 0 & \Phi & 0 & 0 \end{vmatrix} =$$

$$\mathbf{G}_{(r-1)}(t)$$

$$\times \begin{vmatrix} v_{11} & v_{12} & v_{13} & v_{14} & v_{15} \\ v_{21} & v_{22} & v_{23} & v_{24} & v_{25} \\ v_{31} & v_{32} & v_{33} & v_{34} & v_{35} \\ v_{41} & v_{42} & v_{43} & v_{44} & v_{45} \\ v_{51} & v_{52} & v_{53} & v_{54} & v_{55} \end{vmatrix}.$$

$$\mathbf{V}_{(r-1)}(t)$$

$$V_{(r-1)}(0) = \begin{bmatrix} 1 & 0 & 0 & 0 & 0 \\ 0 & 1 & 0 & 0 & 0 \\ 0 & 0 & 1 & 0 & 0 \\ 0 & 0 & 0 & 1 & 0 \\ 0 & 0 & 0 & 0 & 0 \end{bmatrix}.$$

Это и есть система (9.7) в развернутом виде для рассматриваемого промежутка, решение которой

$$V_{(r-1)}(t) = \begin{bmatrix} x & x & x & x & x \\ x & x & x & x & x \\ 0 & 0 & x & 0 & 0 \\ 0 & 0 & 0 & x & 0 \\ 0 & 0 & 0 & 0 & x \end{bmatrix}.$$

10. ИДЕНТИФИКАЦИЯ НЕСТАЦИОНАРНЫХ ПАРАМЕТРОВ

Пусть объект описывается уравнением

$$\sum_{j=1}^n a_j(t) u_j(t) = u_0(t). \quad (10.1)$$

Это может быть линейный объект

$$y^{(0)}(t) + \sum_{j=1}^l a_j(t) y^{(j-1)}(t) = \sum_{j=1}^{m+1} b_j(t) x^{(j-1)}(t),$$

прочем координаты

$$u_j(t) = u_j[y^{(0)}(t), t \in [0, t], y^{(j)}(t), t \in [0, m]], \quad j \in [1, n],$$

или нелинейный по координатам, но линейный по параметрам, например, объект, описываемый уравнением типа Риккати

$$y^{(1)}(t) + a_1(t)y^2(t) + a_2y(t) = a_3(t).$$

Структура объекта (порядок n) известна.

Координаты $u_j(t) \in C[0, \infty)$, $j \in [0, n]$, доступны измерению (обычно с погрешностями $\delta u_j(t)$) и представляют собой линейно независимые функции.

Предполагаются известными нижняя α_u и верхняя Ω_u граничные частоты эффективной полосы спектра координат объекта и максимальная частота

$$\Omega_{\text{ макс}} = \max_{j \in [1, n]} \Omega_{u_j}$$

спектра идентифицируемых параметров, которую можно грубо определить из физических законов функционирования идентифицируемого объекта.

Составляется задача текущей идентификации параметров

$$a_j(t) \in C[0, \infty), \quad j \in [1, n].$$

Решение ее базируется на формировании системы $m \geq n$ уравнений, например, путем воздействия на уравнение (10.1) совокупности интегральных операторов Вольтерра с ядрами $w_i(t, \tau)$, $i \in [1, m]$.

В результате будем иметь

$$\int_0^t H(\tau, t) u(\tau) d\tau = v(t), \quad (10.2)$$

где $u(t) = [a_j(t), j \in [1, n]]$,

$$H(t, \tau) = [h_{ij}(t, \tau) = w_i(t, \tau)w_j(\tau), \quad j \in [1, n], i \in [1, m]],$$

$$v(t) = \left[v_{ij}(t) = \int_0^t w_i(t, \tau)w_j(\tau) d\tau, \quad i \in [1, m] \right].$$

На функции $w_j(t, \tau)$ накладывается условие финитности, т. е.

$$w_j(t, \tau) = 0 \quad \text{при } \tau > T, \quad (10.3)$$

где T – некоторая конечная фиксированная величина.

Решение интегрального уравнения Вольтерра (10.2) представляет собой некорректную задачу, и известные методы, в том числе и регуляризация по А.Н. Тихонову, оказываются мало пригодными в условиях текущей идентификации.

Для решения системы (10.2) предлагается метод, в основе которого лежит представление идентифицируемых параметров на скользящем интервале времени $[t-T, t]$ в виде обобщенного ряда

$$a_j(t) = \sum_{r=0}^l c_{jr}(t) \Phi_r(t, t) + R_0(t, t), \quad t \in [t-T, t], \quad (10.4)$$

где $c_{ij}(t)$ – коэффициенты приближения (нестационарные спектральные характеристики); $\varphi_r(t, \tau)$ – базисные функции обобщенного ряда; $R_0(t, \tau)$ – остаточный член обобщенного ряда.

С учетом (10.3) система (10.2) представляется как

$$\int_{t-T}^t H(t, \tau) u(\tau) d\tau = v(t), \quad (10.5)$$

Подставив (10.4) в (10.5), получим эквивалентную систему алгебраических уравнений относительно нестационарных спектральных характеристик

$$\begin{aligned} & \sum_{r=0}^l \sum_{j=1}^m c_{rj}(t) \int_{t-T}^t w_j(t, \tau) \varphi_r(t, \tau) u_j(\tau) d\tau = \\ & = \int_{t-T}^t w_j(t, \tau) R_0(t) d\tau - \sum_{j=1}^m \Delta_{0j}(t), \quad i \in [1, m(l+1)], \end{aligned} \quad (10.6)$$

$$\text{где } \Delta_{0j}(t) = \int_{t-T}^t w_j(t, \tau) R_0(t, \tau) u_j(\tau) d\tau.$$

Система (10.6) может быть записана в векторно-матричной форме

$$U_l(t) u(t) = v(t) - \Delta_l(t), \quad (10.7)$$

$$U_l(t) = \left[\int_{t-T}^t w_j(t, \tau) \varphi_r(t, \tau) u_j(\tau) d\tau, \quad j \in [1, m(l+1)], \quad r \in [1, m(l+1)] \right],$$

$$v(t) = [c_{rj}(t), \quad r \in [1, l+1]],$$

$$c_r(t) = [c_{rj}(t), \quad j \in [1, l+1]],$$

$$\Delta_l(t) = \left[\sum_{j=1}^m \Delta_{0j}(t), \quad i \in [1, m(l+1)] \right].$$

Если предположить, что остаточные члены $R_0(t, t)$ известны, а следовательно известен и вектор $\Lambda_0(t)$, то при условии ненулевого ранга матрицы $U_0(t)$ описанная процедура позволяет определить истинные параметры $a_j(t)$, $j \in [1, n]$.

Следует отметить основное достоинство описанного подхода к идентификации нестационарных параметров, которое заключается в том, что решение интегральной системы (10.5) сводится к решению линейной алгебраической системы (10.7), формируемой на интервале $[t - T, t]$, а это существенно упрощает задачу, поскольку определяемые из системы (10.7) коэффициенты c_{ij} (вектор $c(t)$) постоянны на $[t - T, t]$.

Однако при этом имеет место и основной недостаток – существенное увеличение мерности решаемой задачи, так как теперь вместо n параметров $a_j(t)$, $j \in [1, n]$, необходимо определять $n(n+1)$ коэффициентов c_{ij} , $i \in [0, L]$, $j \in [1, n]$.

Реализация алгоритма предполагает решение следующих задач выбора:

- 1) вида формирующих функций $\psi_i(t, t)$;
- 2) способа приближенного представления идентифицируемых параметров (обобщенного рода (10.4));
- 3) вида базисных функций $\varphi_j(t, t)$;
- 4) способа восстановления параметров $a_j(t)$ по идентифицированным оценкам $c_{ij}(t)$.

Вопрос выбора функций $\psi_i(t, t)$, формирующих систему линейных алгебраических уравнений, обсуждался в разделе 7.1. Аналогичная ситуация имеет место и здесь, т. е. в качестве формирующих функций $\psi_i(t, t)$ следует выбирать ИХ полосовых фильтров с разнесенными полосами пропускания, расположеннымими в пределах эффективной длительности АЧХ идентифицируемого объекта. Однако в отличие от стационарного случая здесь формирование системы уравнений выполняется на интервале $[t - T, t]$, т. е. длительность T_w ИХ полосового фильтра и длительность T скользящего интервала должны быть согласованы. С точки зрения приближения функций, чем меньше T , тем

меньшие ошибки приближения и T надо уменьшить. С другой стороны, длительность T_w ИХ определяет качество АЧХ полосового фильтра, причем, чем больше T_w , тем выше качество АЧХ и с этой точки зрения T_w надо увеличивать. Таким образом, конкретных рекомендаций по выбору T_w пока дать невозможно, во крайней мере, до тех пор, пока не будут обсуждены вопросы реализации способа приближения идентифицируемых параметров, а далее возможны варианты либо выбора по приоритету (что наихуднее), либо компромиссное решение.

При выборе способа приближенного представления идентифицируемых параметров рассмотрим такие методы теории приближения функций, как интерполяция, наилучшее равномерное приближение, и среднеквадратичную аппроксимацию.

Интерполяционный полином, обеспечивающий минимальную ошибку приближения, есть полином Лагранжа с узлами по Чебышеву.

В качестве одного из вариантов полинома наилучшего равномерного приближения рекомендуется интерполяционный полином Лагранжа с узлами по Чебышеву.

Наилучшую среднеквадратичную аппроксимацию обеспечивает обобщенный ряд Фурье с полиномами Чебышева в качестве базисных функций, причем этот ряд в нашем случае обладает не только среднеквадратичной, но и равномерной сходимостью, так как приближенные функции $a_j(t) \in C[t - T, t]$, $j \in [1, n]$.

Таким образом, с точки зрения точности приближения необходимо использовать полиномы Чебышева и в этом смысле различие между способами приближения теряется.

При решении практических задач, когда приближаемая функция представлена в виде зашумленной реализации сигнала, предпочтительнее среднеквадратичная аппроксимация. Во-первых, как теория она имеет наиболее простой и законченный вид. Во-вторых, среднеквадратичная близость, за счет наличия интегрального оператора, учитывает погрешность приближения на всем интервале аппроксимации, а не в точке, а кроме того, интегральный оператор обладает стекловицющими свойствами. Следовательно, представляется целесообразным отдать предпочтение среднеквадратичной аппроксимации, а именно обобщенному ряду Фурье по ортого нормированным полиномам Чебышева первого рода.

Полиномы Чебышёва первого ряда $T_r(t)$, $r = 1, 2, 3, \dots$, ортогональные на интервале $[a, b]$ с весом

$$\rho(t) = \frac{b-a}{2\sqrt{[-t^2 + (a+b)t - ab]}},$$

Вычисление коэффициентов Фурье при аппроксимации функции $f(t)$

$$c_r = \int_a^b \rho(t)f(t)T_r(t)dt$$

предполагает использование квадратурных формул с реализацией их на ЦВМ. Однако в точках $t = a$ и $t = b$ весовая функция обращается в ∞ , поскольку в этих точках знаменатель $\rho(t)$ равен нулю и вычисление коэффициентов Фурье невозможно. Вручную подобного рода интегралы не берутся, особенно если $f(t)$ задана не в аналитическом виде.

Исследования по использованию другого, близкого к полиномам Чебышёва базиса, проницостирировали несложные результаты, когда в качестве ортогонализированного базиса использовались близкие по виду и свойствам полиномы Лежандра $\phi_r(t)$, $r = 1, 2, 3, \dots$, ортогональные на $[a, b]$ с весом $\rho(t) = 1$.

Таким образом, в качестве способа приближения и вида базисных функций использован обобщенный ряд Фурье с базисными функциями Лежандра.

Восстановление идентифицируемых параметров осуществляется по найденным оценкам нестационарных спектральных характеристик (оценкам коэффициентов Фурье). Ошибки определения искомых параметров возникают по следующим причинам.

Во-первых, в условиях задачи идентификации аппроксимируемые функции $a_j(t)$, $j \in [1, n]$, известны, следовательно, известны априори и остаточные члены ряда Фурье $R_0(t, t)$. В результате вектор $A_0(t)$ оказывается искаженным, и решать можно только усеченную систему

$$\mathbf{U}_f(t)\mathbf{e}_o(t) = \mathbf{v}(t), \quad (10.8)$$

решение которой $\mathbf{e}_o(t)$ представляет собой оценку вектора $\mathbf{c}(t)$, а значит, удается определить лишь оценки искомых нестационарных параметров

$$a_{ij}(t) = \sum_{\tau=0}^J c_{ij\tau}(t) w_j(t, \tau), \quad j \in [1, n].$$

В результате будем иметь методическую погрешность идентификации

$$\mathbf{e}_{\text{мет}}(t) = \mathbf{a}(t) - \mathbf{a}_o(t).$$

Во-вторых, с учетом помех $\delta w_j(t)$, возникающих при измерении сигналов $w_j(t)$, система (10.8) принимает вид

$$\mathbf{U}_{f+}^T(t) \mathbf{U}_{f+}(t) \mathbf{e}_+(t) = \mathbf{U}_{f+}^T(t) \mathbf{v}_+(t), \quad (10.9)$$

где

$$\mathbf{U}_{f+}(t) = \mathbf{U}_f(t) + \Delta \mathbf{U}_f(t),$$

$$\Delta \mathbf{U}_f(t) = \left[\int_{t-T}^t w_j(t, \tau) w_j(t, \tau) \delta w_j(\tau) d\tau, \quad j \in [1, m(t+1)], \quad t \in [1, m(t+1)] \right],$$

$$\mathbf{v}_+(t) = \mathbf{v}(t) + \Delta \mathbf{v}(t),$$

$$\Delta \mathbf{v}(t) = \left[\int_{t-T}^t w_j(t, \tau) \delta w_j(\tau) d\tau, \quad t \in [1, m(t+1)] \right].$$

Восстановление оценок $a_{ij}(t)$, $j \in [1, n]$, идентифицируемых параметров осуществляется по оценкам $c_{ij\tau}(t)$ нестационарных спектральных характеристик, полученных в результате решения системы (10.9), причем это восстановление может быть произведено либо сразу на всем интервале аппроксимации, либо в отдельной точке этого интервала. Текущая идентификация предполагает информацию о свойствах и

поведении наблюдаемого объекта в момент T , что представляет собой точку правого конца интервала аппроксимации и логически именно эту точку, казалось бы, необходимо выбирать в качестве точки восстановления. Однако как показывают многочисленные модельные исследование, хорошо вписывающиеся в рамки свойств полиномов Лежандра (впрочем, как и Чебышева), ошибка идентификации минимальна при восстановлении идентифицируемых параметров в точке

$$v = \frac{T}{2}, \quad (10.10)$$

т. е. в середине интервала аппроксимации. Именно в этой точке полиномы Лежандра с нечетными индексами обращаются в нуль, что, вообще говоря, влияет на выбор значения параметра l – количества слагаемых ряда Фурье. Недостатком выбора точки восстановления в виде (10.10) является вносимое в текущую идентификацию запаздывание на величину $T/2$. В результате можно дать следующую рекомендацию по выбору точки v . Если предъявляются более жесткие требования к информации об объекте именно в текущий момент, пусть даже в ущерб точности этой информации, то следует подавать $v = T$. Если же функционирование объекта в том технологическом процессе, в котором он используется, допускает небольшие запаздывания, но требует более точной информации о свойствах объекта, то точку восстановления нужно выбирать в виде (10.10).

БИБЛИОГРАФИЧЕСКИЙ СПИСОК

1. Анисимов А.С. Алгоритмы идентификации импульсной характеристики: учеб. пособие / А.С. Анисимов, Г.П. Чикильдин. – Новосибирск: Изд-во НГТУ, 1996. – 93 с.
2. Анисимов А.С. Исследование алгоритмов идентификации импульсной и частотных характеристик / А.С. Анисимов, М.М. Сызиков, Г.П. Чикильдин. – Новосибирск: Изд-во НГТУ, 1996. – 48 с.
3. Анисимов А.С. Алгоритмы преобразования линейных динамических моделей: учеб. пособие / А.С. Анисимов, В.Т. Конопов, Г.П. Чикильдин. – Новосибирск: Изд-во НГТУ, 2004. – 146 с.
4. Бокс Дж. Анализ временных рядов. Прогноз и управление: пер. с англ. / Дж. Бокс, Г. Дженкинс. – М.: Мир, 1974. – Вып. 1. – 406 с.
5. Бокс Дж. Анализ временных рядов. Прогноз и управление: пер. с англ. / Дж. Бокс, Г. Дженкинс. – М.: Мир, 1974. – Вып. 2. – 209 с.
6. Гром Д. Методы идентификации систем: пер. с англ. / Д. Гром. – М.: Мир, 1979. – 362 с.
7. Льюис Л. Идентификация систем. Теория для пользователя: пер. с англ. / Л. Льюис. – М.: Наука, 1991. – 432 с.
8. Марти-ла С.Л. Цифровой спектральный анализ и его приложения: пер. с англ. / С.Л. Марти-ла. – М.: Мир, 1990. – 584 с.
9. Райбайн Н.С. Построение моделей процессов производства / Н.С. Райбайн, Чадин В.М. – М.: Энергия, 1975. – 376 с.
10. Современные методы идентификации систем: пер. с англ. / под ред. П. Эххофа. – М.: Мир, 1983. – 400 с.
11. Тихонов А.Н. Методы решения некорректных задач / А.Н. Тихонов, В.Я. Арефьев. – М.: Наука, 1974. – 224 с.
12. Энгстorf П. Основы идентификации систем управления: пер. с англ. / П. Энгсторф. – М.: Мир, 1975. – 683 с.

ОГЛАВЛЕНИЕ

1. ОБЩИЕ СВЕДЕНИЯ ОБ ИДЕНТИФИКАЦИИ	3
2. МАТЕМАТИЧЕСКИЕ МОДЕЛИ ОБЪЕКТОВ УПРАВЛЕНИЯ	6
3. ПРЯМЫЕ МЕТОДЫ ИДЕНТИФИКАЦИИ ИМПУЛЬСНОЙ ХАРАКТЕРИСТИКИ (ИХ)	10
3.1. Общие положения	10
3.2. Алгоритмы идентификации на основе МНК	13
3.3. Алгоритмы идентификации на основе РМНК	18
3.4. Алгоритмы идентификации на основе АК	19
4. ПРОЕКЦИОННЫЕ МЕТОДЫ ИДЕНТИФИКАЦИИ ИМПУЛЬСНОЙ ХАРАКТЕРИСТИКИ	21
4.1. Общие положения	21
4.2. Алгоритмы идентификации на основе ММ	23
4.3. Алгоритмы идентификации на основе проекционного МНК	26
4.4. Качественный анализ пресктических методов	28
5. РЕГУЛЯРИЗУЮЩИЕ МЕТОДЫ ИДЕНТИФИКАЦИИ ИМПУЛЬСНОЙ ХАРАКТЕРИСТИКИ	32
5.1. Общие положения	32
5.2. Метод регуляризации А.Н. Тихонова	32
6. СТРУКТУРНАЯ ИДЕНТИФИКАЦИЯ ЛИНЕЙНОГО СТАЦИОНАРНОГО ОБЪЕКТА	38
6.1. Общие положения	38
6.2. Метод переходных функций	38
6.3. Идентификация структуры посредством ℓ^1 -процедуры	39
6.4. Идентификация структуры по синке ИХ объекта	41
7. ПАРАМЕТРИЧЕСКАЯ ИДЕНТИФИКАЦИЯ ЛИНЕЙНОГО СТАЦИОНАРНОГО ОБЪЕКТА	44
7.1. Идентификация ЛСЛ-модели	44
7.2. Идентификация ЛДЛ-модели	49
8. САМОИСТРАНЯЮЩИЕСЯ МОДЕЛИ	62
8.1. Градиентные самоинструментирующиеся модели	62
8.2. Иерархические самоинструментирующиеся модели	65
9. ОЦЕНИВАНИЕ РАСПРОШИРЕННОГО ВЕКТОРА СОСТОЯНИЙ НЕЛИНЕЙНЫХ СТАЦИОНАРНЫХ ОБЪЕКТОВ	79
10. ИДЕНТИФИКАЦИЯ НЕСТАЦИОНАРНЫХ ПАРАМЕТРОВ	79
Библиографический список	87